

POLYTECHNIQUE  
MONTRÉAL



LE GÉNIE  
EN PREMIÈRE CLASSE

NeuroPoly



# Représentation des images dans le domaine fréquentiel

Eva Alonso Ortiz

ELE8812

23 janvier 2025

## 1. Cadre 1D

- Révision
- Séries de Fourier : interprétation géométrique
- Extension : approche géométrique de la transformée de Fourier
- Échantillonnage
- Transformée de Fourier à temps discret et transformée de Fourier discrète

## 2. Cadre 2D

- Extension 2D de la transformée de Fourier
- Échantillonnage
- Aspects pratiques

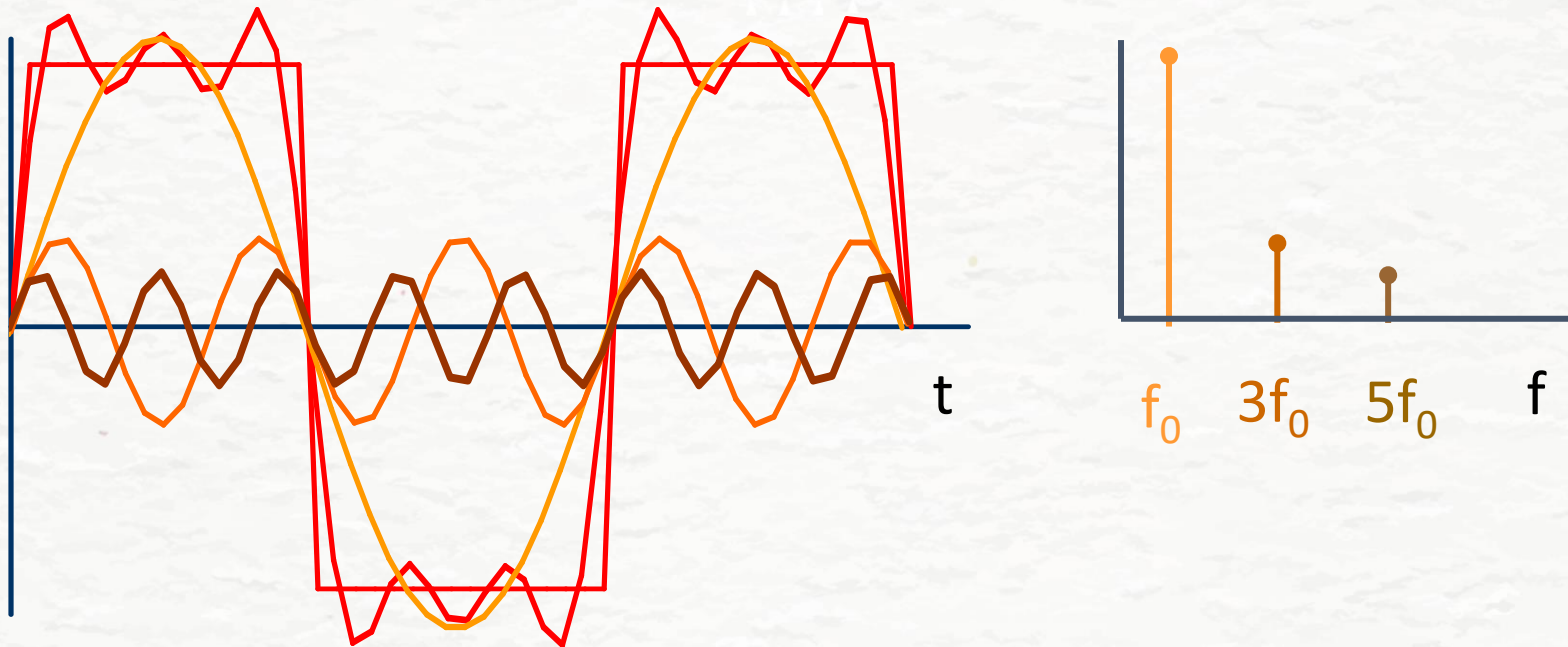
## 1. Cadre 1D

- Révision
- Séries de Fourier : interprétation géométrique
- Extension : approche géométrique de la transformée de Fourier
- Échantillonnage
- Transformée de Fourier à temps discret et transformée de Fourier discrète

## 2. Cadre 2D

- Extension 2D de la transformée de Fourier
- Échantillonnage
- Aspects pratiques

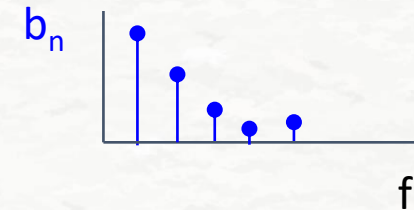
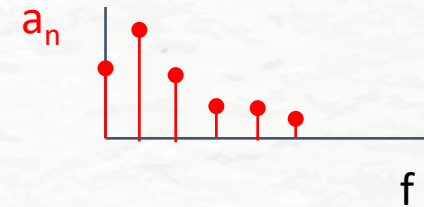
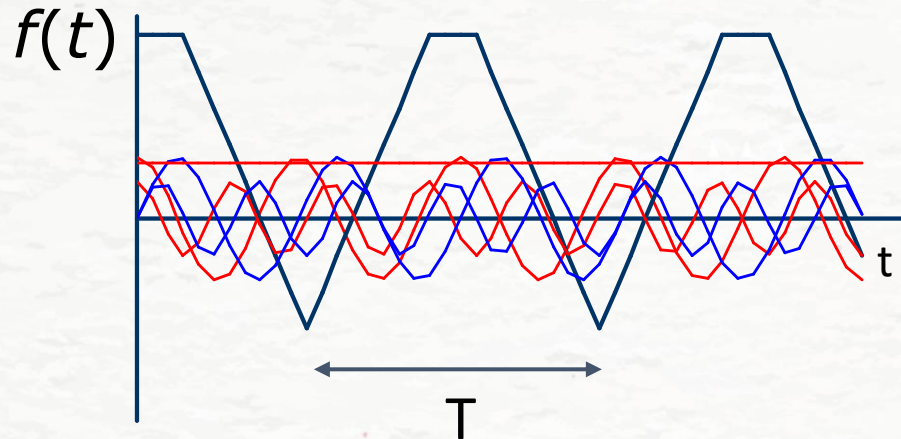
# Rappel : Signaux périodiques – décomposition du signal



$f_0$  : fréquence fondamentale  
 $nf_0$  : harmoniques

# Rappel : Signaux périodiques – série de Fourier

(C) Pierre Savard 2013



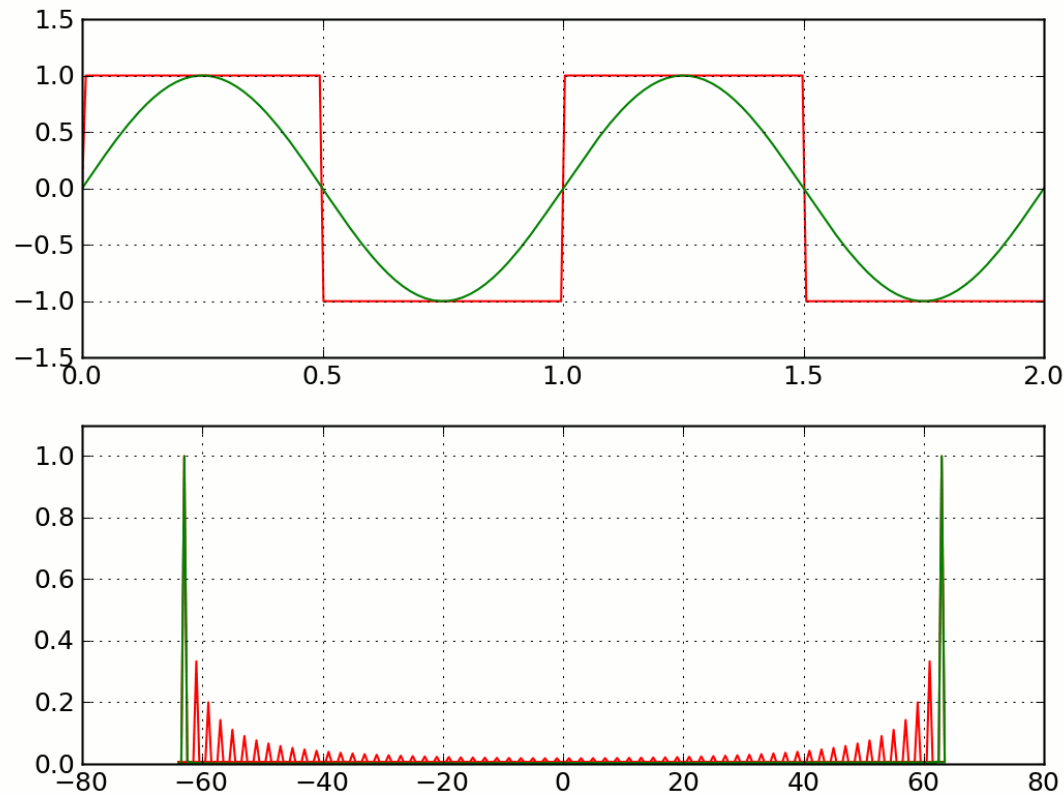
$$f(t) = \frac{a_0}{2} + \sum_{n=1}^{\infty} \left( a_n \cos \frac{2\pi n t}{T} \right) + \left( b_n \sin \frac{2\pi n t}{T} \right)$$

$$a_n = \frac{2}{T} \int_0^T f(t) \cos \left( \frac{2\pi n t}{T} \right) dt \quad b_n = \frac{2}{T} \int_0^T f(t) \sin \left( \frac{2\pi n t}{T} \right) dt$$

*Formalisme utilisé dans le cours:*

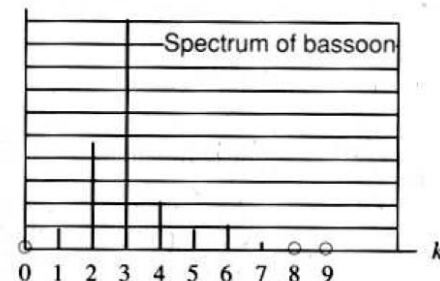
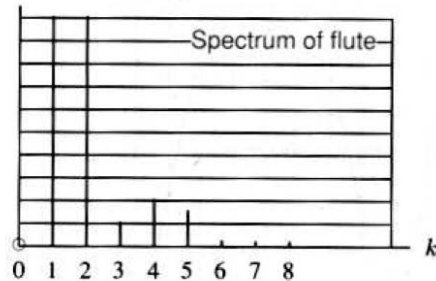
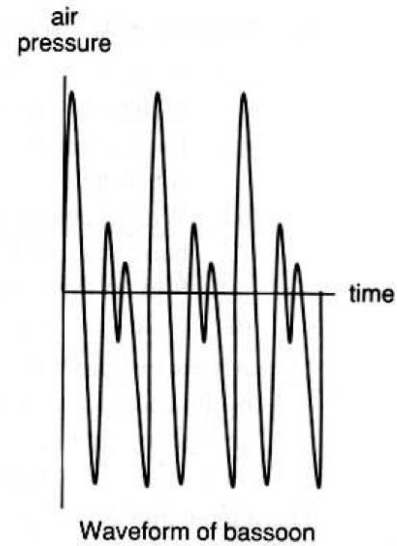
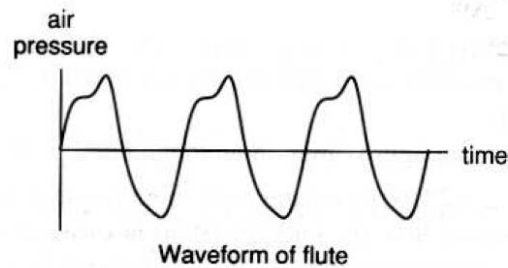
$$f(t) = \sum_{k \in \mathbb{Z}} F_k e^{2i\pi k t / T} \quad F_k = \frac{1}{T} \int_I f(t) e^{-2i\pi k t / T} dt$$

# Rappel : Onde carré – série de Fourier



"SquareWave" by Peretuset - Own work. Licensed under CC BY 3.0 via Commons - <https://commons.wikimedia.org/wiki/File:SquareWave.gif#/media/File:SquareWave.gif>

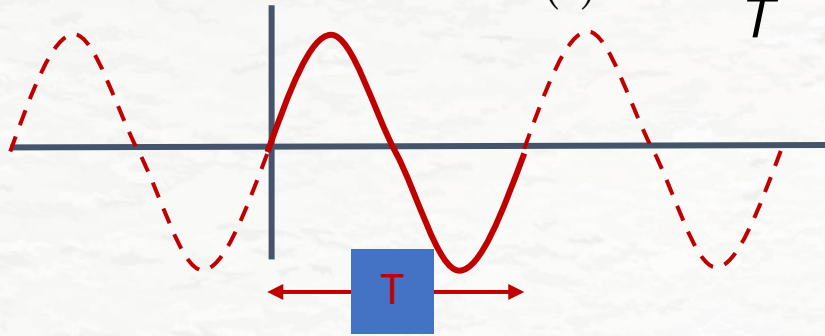
# Rappel : Ondes de son – séries de Fourier



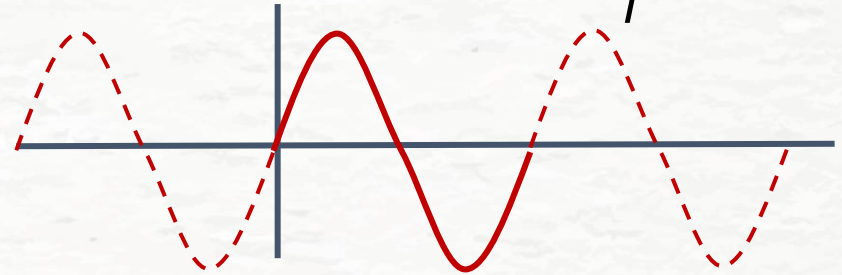
# Rappel : Principe du calcul des coefficients

Fonction à reproduire:

$$f(t) = \sin \frac{2\pi t}{T}$$

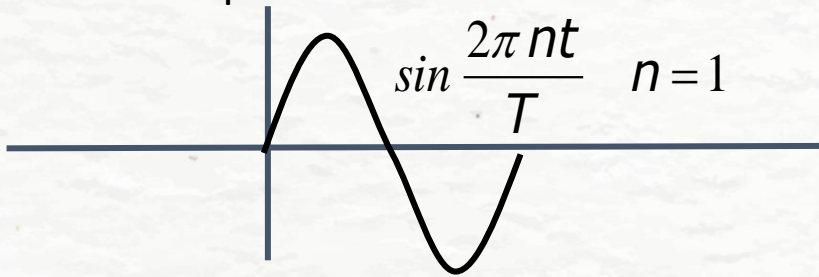


$$f(t) = \sin \frac{2\pi t}{T}$$

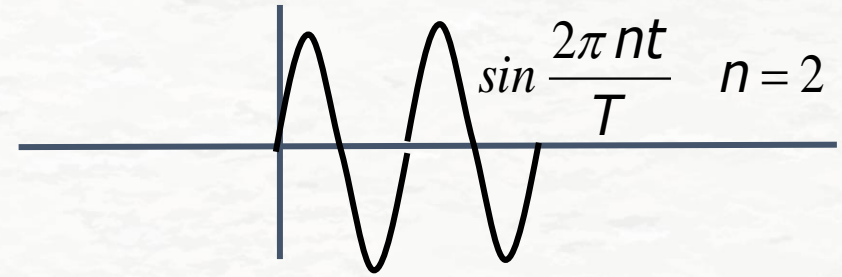


Harmonique:

$$\sin \frac{2\pi n t}{T} \quad n=1$$

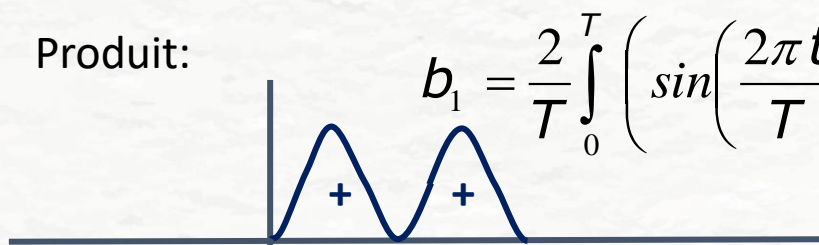


$$\sin \frac{2\pi n t}{T} \quad n=2$$

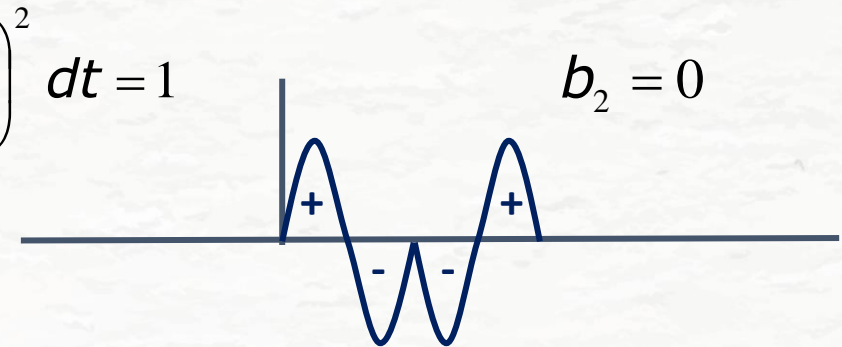


Produit:

$$b_1 = \frac{2}{T} \int_0^T \left( \sin \left( \frac{2\pi t}{T} \right) \right)^2 dt = 1$$



$$b_2 = 0$$



# Rappel : développement en série de Fourier

## Resumé

- $f$  : fonction à valeurs réelles ou complexes définie sur un intervalle  $I$  de longueur  $T$
- Développement de  $f$  en série de Fourier:

$$f(t) = \sum_{k \in \mathbb{Z}} F_k e^{2i\pi kt/T}$$

- Calcul des  $F_k$ , coefficients de la série de Fourier :

$$F_k = \frac{1}{T} \int_I f(t) e^{-2i\pi kt/T} dt$$

- $F_k$  : *composante fréquentielle* de  $f$  à la fréquence  $\nu = k / T$

## 1. Cadre 1D

- Révision
- Séries de Fourier : interprétation géométrique
- Extension : approche géométrique de la transformée de Fourier
- Échantillonnage
- Transformée de Fourier à temps discret et transformée de Fourier discrète

## 2. Cadre 2D

- Extension 2D de la transformée de Fourier
- Échantillonnage
- Aspects pratiques

# Développement en série de Fourier (1)

## Cadre géométrique

---

### Cadre

*Ex: fonction périodique  
sur une période*



- $\varepsilon$  : ensemble des **fonctions définies sur  $I$  de carré sommable**
- Produit « scalaire » sur  $\varepsilon$  :

$$\langle f|g \rangle = \frac{1}{T} \int_I f(t)g^*(t)dt$$

- Décomposition sur une base orthonormale  $\{u_k(t) ; k \in \mathbb{Z}\}$  :

$$f(t) = \sum_{k \in \mathbb{Z}} F_k u_k(t)$$
$$F_k = \langle f|u_k \rangle$$

# Développement en série de Fourier (2)

## Interprétations

### Décomposition de $f$ sur une « base fréquentielle »

- Base fréquentielle orthonormée :  $\{u_k = e^{2i\pi kt/T}; k \in \mathbb{Z}\}$
- $f(t) = \sum_{k \in \mathbb{Z}} F_k u_k(t); F_k = \langle f | u_k \rangle$

*composante fréquentielle de  $f$  à la fréquence  $\nu = k/T$ , généralement complexe*

*Fonction périodique avec fréquence  $\nu = k/T$*

$$f(t) = \sum_{k \in \mathbb{Z}} F_k e^{2i\pi kt/T} \quad F_k = \frac{1}{T} \int_I f(t) e^{-2i\pi kt/T} dt$$

## 1. Cadre 1D

- Revision
- Séries de Fourier : interprétation géométrique
- Extension : approche géométrique de la transformée de Fourier
- Échantillonnage
- Transformée de Fourier à temps discret et transformée de Fourier discrète

## 2. Cadre 2D

- Extension 2D de la transformée de Fourier
- Échantillonnage
- Aspects pratiques

# Transformée de Fourier

## Cadre géométrique

*Ex: fonctions non-periodiques*

- $\varepsilon$  : ensemble des **fonctions définies sur  $\mathbb{R}$  de carré sommable**
- Produit « scalaire » sur  $\varepsilon$  :

$$\langle f | g \rangle = \int_{\mathbb{R}} f(t)g^*(t)dt$$

## « Base fréquentielle »

- $\{e^{2i\pi\nu t}; \nu \in \mathbb{R}\}$  : base fréquentielle orthonormale
- Décomposition :

$$f(t) = \int_{\mathbb{R}} F(\nu)e^{2i\pi\nu t} d\nu$$

transformée de Fourier inverse

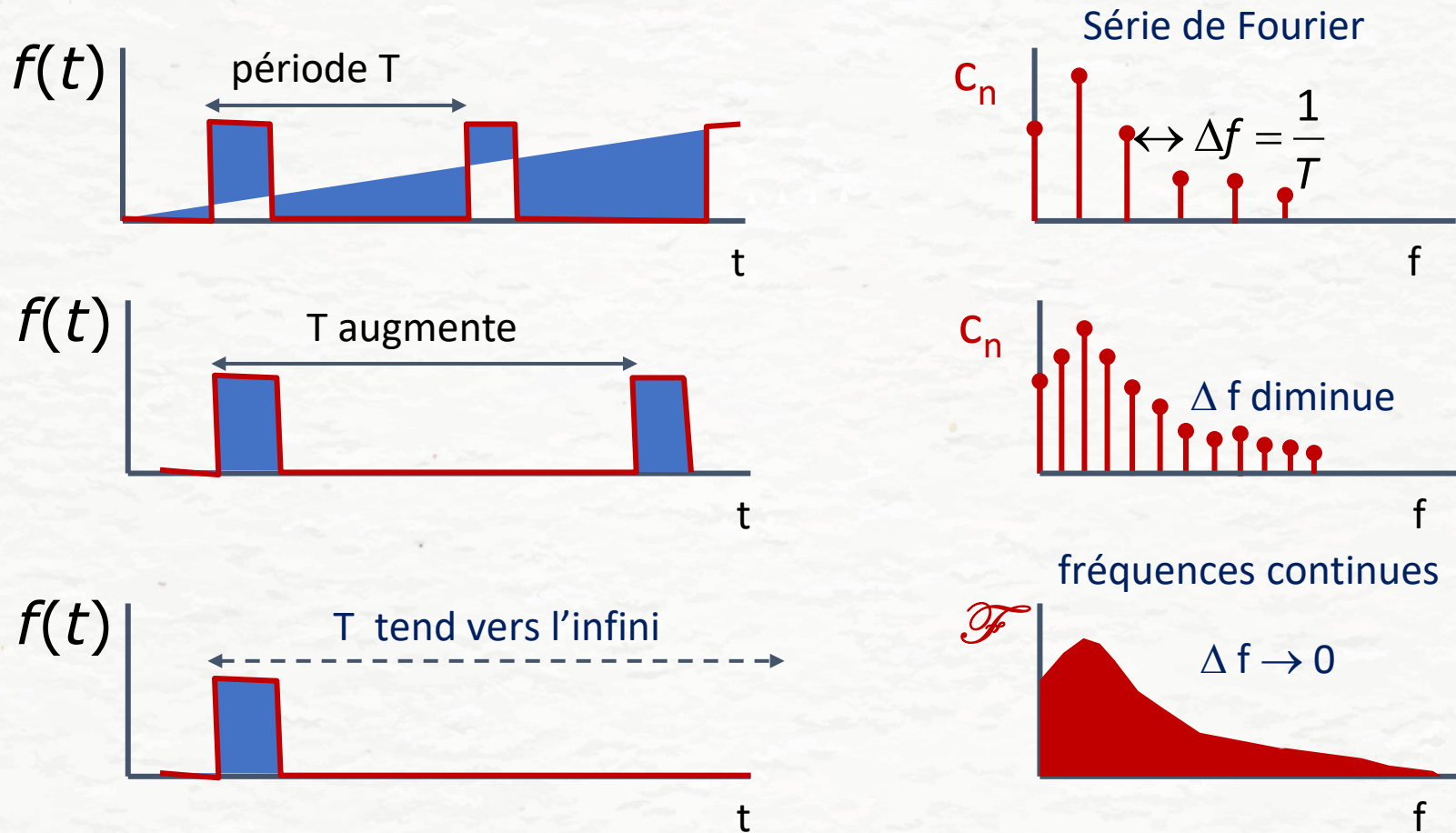
- Calcul des « coefficients » :

$$F(\nu) = \langle f | e^{2i\pi\nu t} \rangle = \int_{\mathbb{R}} f(t)e^{-2i\pi\nu t} dt$$

transformée de Fourier

*fonction continue*

# Lien entre série de Fourier de $f$ périodique et TF de $f$ non-périodique



La transformée de Fourier correspond à une série de Fourier ayant une période tendant vers l'infini et s'applique ainsi à des signaux non-périodiques. Plutôt que d'avoir des composantes à des fréquences discrètes, le nombre de composantes tend vers l'infini et la transformée a un spectre de fréquences continues.

# Transformée de Fourier de fonctions périodiques (1)

## Position du problème

- Si  $f$  est périodique:  $F(\nu) = \langle f | e^{2i\pi\nu t} \rangle = \int_{\mathbb{R}} f(t) e^{-2i\pi\nu t} dt$  ne converge pas.
- Pas de transformée de Fourier pour les fonctions périodiques ?

## Solutions

- Approche rigoureuse : changement de cadre mathématique
- Approche pratique : impulsion de Dirac  $\delta(t)$

## Impulsion de Dirac

- $\delta(t)$  définie pour tout  $t \in \mathbb{R}$

- $$\delta(t) = \begin{cases} \infty & \text{if } t = 0 \\ 0 & \text{if } t \neq 0 \end{cases}$$

- $$\int_{-\infty}^{\infty} \delta(t) dt = 1$$

- $$f(t)\delta(t - t_0) = f(t_0)\delta(t - t_0)$$

- $$\int_{\mathbb{R}} \delta(t - t_0) f(t) dt = f(t_0)$$

# Transformée de Fourier de fonctions périodiques (2)

## Impulsion de Dirac et transformée de Fourier

- TF :  $\delta(t - t_0) \xleftrightarrow{\mathcal{F}} e^{-2i\pi\nu t_0} \Rightarrow \delta(t) \xleftrightarrow{\mathcal{F}} 1_\nu$
- TF :  $e^{2i\pi\nu_0 t} \xleftrightarrow{\mathcal{F}} \delta(\nu - \nu_0) \Rightarrow 1_t \xleftrightarrow{\mathcal{F}} \delta(\nu)$

Rappel:

$$F(\nu) = \langle f | e^{2i\pi\nu t} \rangle = \int_{\mathbb{R}} f(t) e^{-2i\pi\nu t} dt$$

## Fonctions périodiques

- $f$   $T$ -périodique  $\Leftrightarrow f$  décomposable en série de Fourier

$$f(t) = \sum_{k \in \mathbb{Z}} F_k e^{2i\pi kt/T} \quad F_k = \frac{1}{T} \int_I f(t) e^{-2i\pi kt/T} dt$$

- Propriété de linéarité

$$F(\nu) = \sum_{k \in \mathbb{Z}} F_k \delta(\nu - k/T)$$

# Transformée de Fourier de fonctions à temps continu

## $f$ de carré sommable (non-périodique)

- TF :  $F(\nu) = \int_{\mathbb{R}} f(t) e^{-2i\pi\nu t} dt$
- TFI :  $f(t) = \int_{\mathbb{R}} F(\nu) e^{2i\pi\nu t} d\nu$

## $f$ périodique de période $T$

- TF :  $F(\nu) = \sum_{k \in \mathbb{Z}} F_k \delta(\nu - k/T)$        $F_k = \frac{1}{T} \int_I f(t) e^{-2i\pi kt/T} dt$

- TFI :  $f(t) = \int_{\mathbb{R}} F(\nu) e^{2i\pi\nu t} d\nu = \sum_{k \in \mathbb{Z}} F_k e^{2i\pi kt/T}$

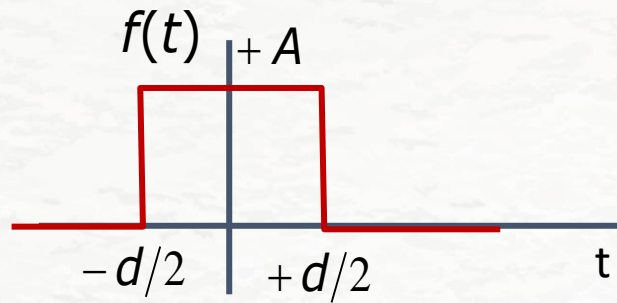
$$\int_{\mathbb{R}} \delta(t - t_0) f(t) dt = f(t_0)$$

# Transformée de Fourier de fonctions usuelles

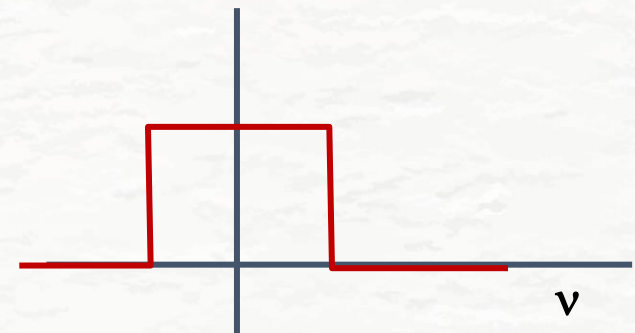
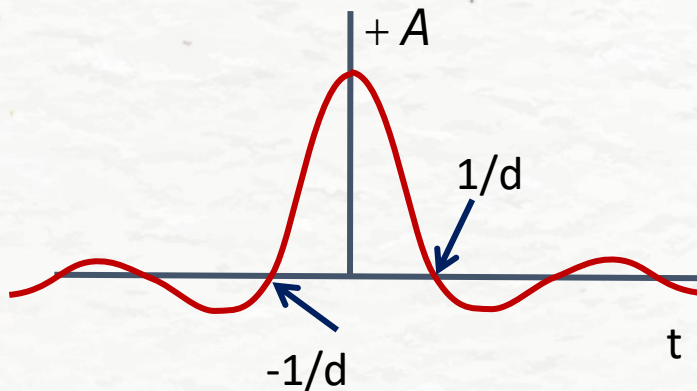
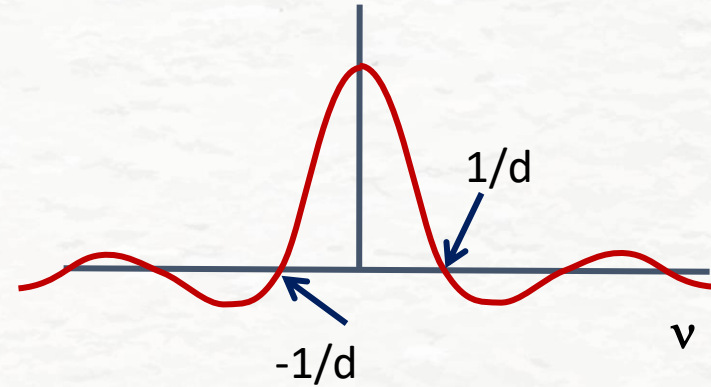
$e^{-\pi t^2}$	$e^{-\pi \nu^2}$
$e^{-a t }$	$2a/(a^2 + 4\pi^2 \nu^2)$
$e^{\pm 2i\pi \nu_0 t}$	$\delta(\nu \mp \nu_0)$
$\cos(2\pi \nu_0 t + \varphi_0)$	$(e^{i\varphi_0} \delta(\nu - \nu_0) + e^{-i\varphi_0} \delta(\nu + \nu_0)) / 2$
$\text{sgn } t$	$1/(i\pi \nu)$
$1$	$\delta(\nu)$
$(-2i\pi t)^m$	$\delta^{(m)}(\nu)$
$1/t$	$-i\pi \text{sgn } \nu$
$ t $	$-1/2\pi^2 \nu^2$
$\text{Rect}(-T/2, T/2)$	$T (\sin \pi T \nu) / \pi T \nu$
$\max\{0, 1 -  t /T\}$	$T ((\sin \pi T \nu) / \pi T \nu)^2$
$\nu_0 (\sin \pi \nu_0 t) / \pi \nu_0 t$	$\text{Rect}(-\nu_0/2, \nu_0/2)$
$\delta(t)$	$1$
$\delta^{(m)}(t)$	$(2i\pi \nu)^m$
$\delta(t \pm T)$	$e^{\pm 2i\pi T \nu}$
$\sum_{n \in \mathbb{Z}} \delta(t - nT)$	$(1/T) \sum_{n \in \mathbb{Z}} \delta(\nu - n/T)$
$\sum_{n \in \mathbb{Z}} c_n \delta(t - nT)$	$\sum_{n \in \mathbb{Z}} c_n e^{-2i\pi n T \nu}$

# TF de fonctions usuelles : sinus cardinal

domaine du temps

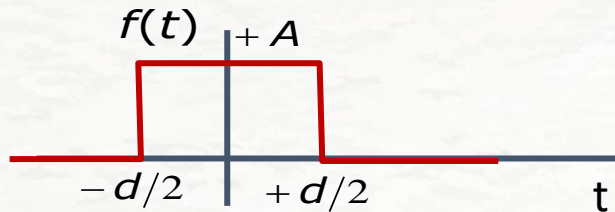


domaine de la fréquence

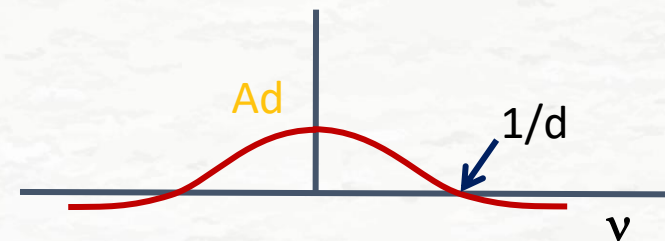
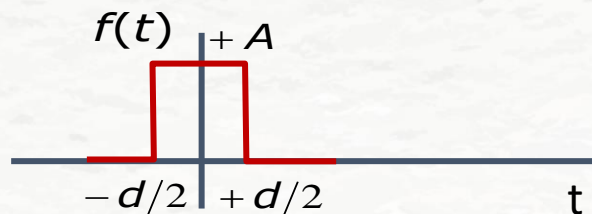
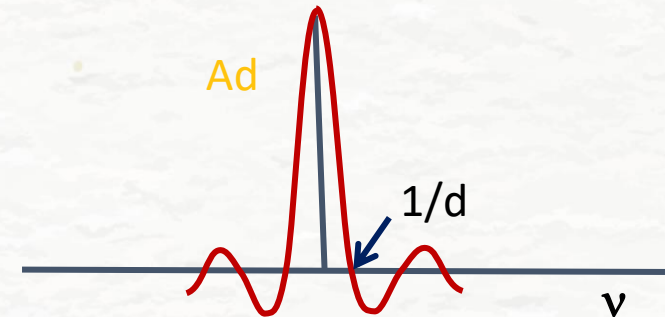
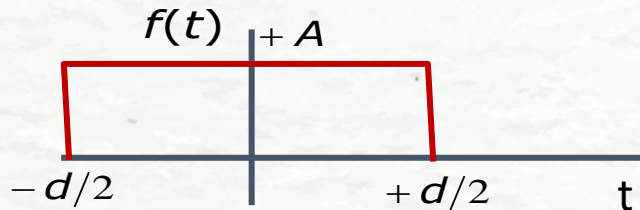
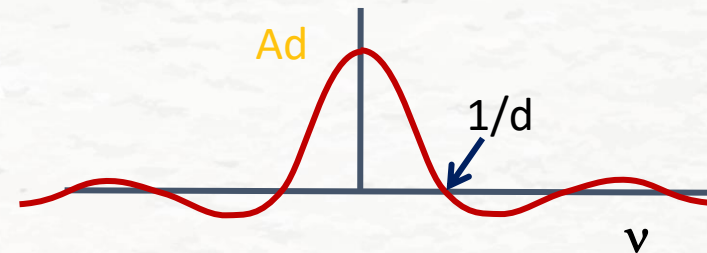


# TF de fonctions usuelles : sinus cardinal

domaine du temps

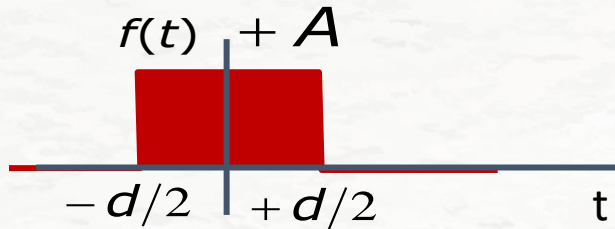


domaine de la fréquence

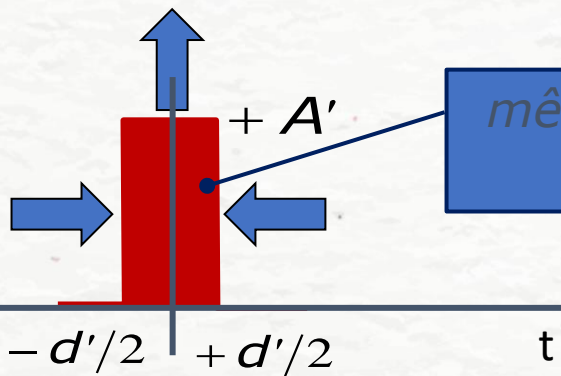
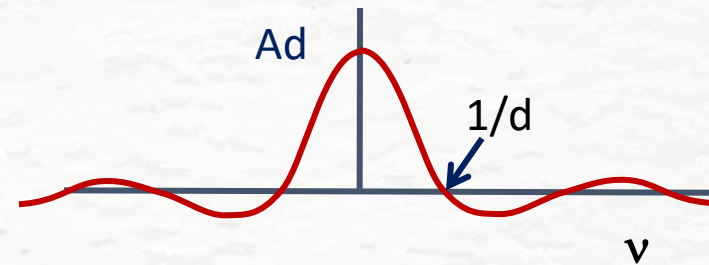


# TF de fonctions usuelles : Impulsion de Dirac

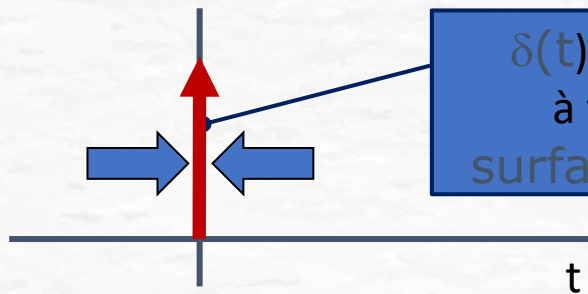
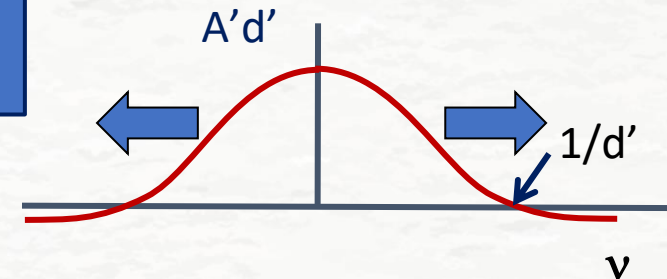
domaine du temps



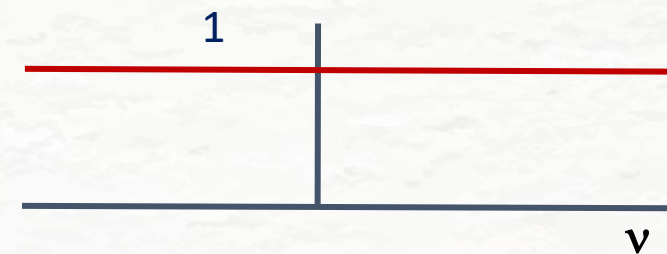
domaine de la fréquence



*même surface*  
 $A'd' = Ad$

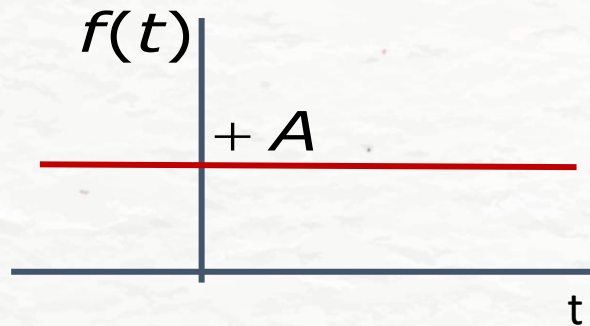


$\delta(t) \rightarrow \infty$   
à  $t=0$   
surface = 1

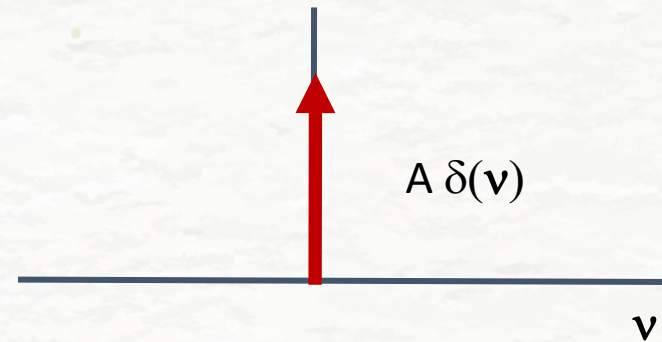


# TF de fonctions usuelles : une constante

domaine du temps



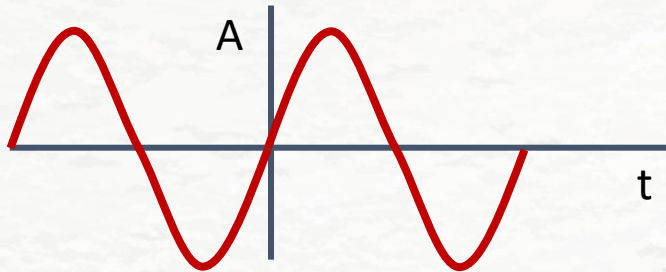
domaine de la fréquence



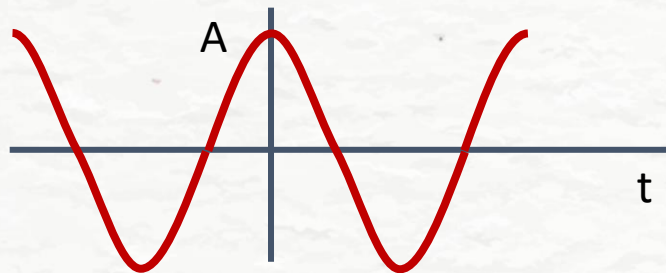
# TF de fonctions usuelles : sinus et cosinus

domaine du temps

$$A \sin(2\pi f_0 t)$$

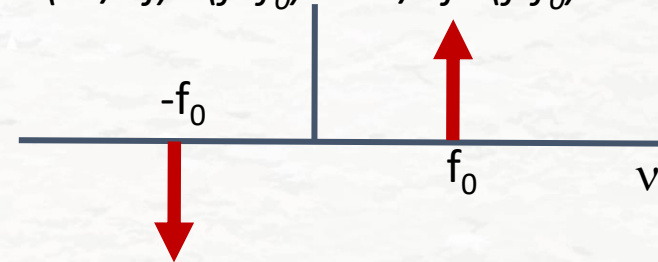


$$A \cos(2\pi f_0 t)$$

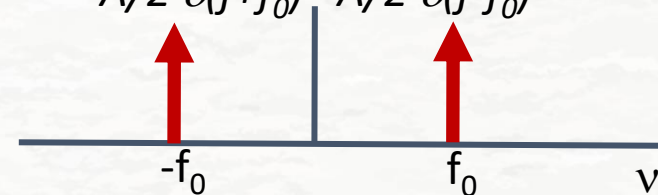


domaine de la fréquence

$$(-A/2j) \delta(f+f_0) \quad +A/2j \delta(f-f_0)$$



$$A/2 \delta(f+f_0) \quad A/2 \delta(f-f_0)$$



Rappel:

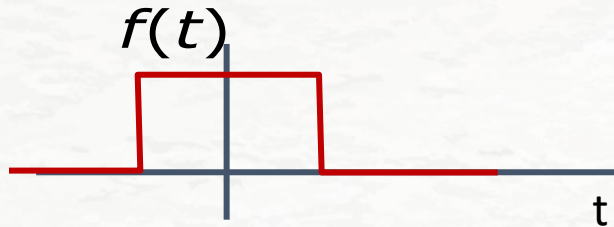
$$TF : F(\nu) = \sum_{k \in \mathbb{Z}} F_k \delta(\nu - k/T) \quad F_k = \frac{1}{T} \int_I f(t) e^{-2i\pi kt/T} dt$$

# Propriétés de la transformée de Fourier

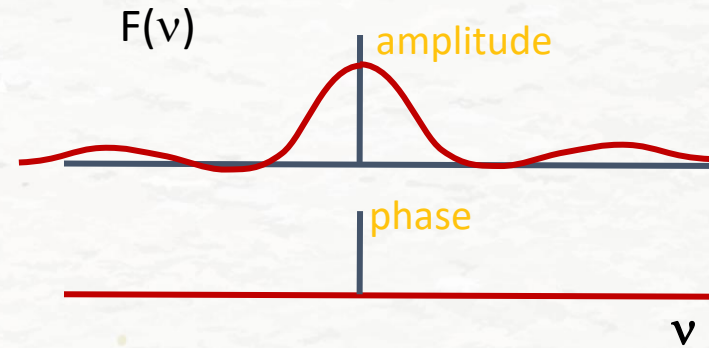
Propriété	Dom. des temps		Dom. des fréquences
	$x(t)$	$\xleftrightarrow{\mathcal{F}}$	$X(\nu)$
	$y(t)$	$\xleftrightarrow{\mathcal{F}}$	$Y(\nu)$
<i>Linéarité</i>	$\alpha x(t) + \beta y(t)$	$\xleftrightarrow{\mathcal{F}}$	$\alpha X(\nu) + \beta Y(\nu)$
<i>Translation (t)</i>	$x(t - \tau)$	$\xleftrightarrow{\mathcal{F}}$	$X(\nu)e^{-2i\pi\nu\tau}$
<i>Homothétie (t)</i>	$x(\alpha t)$	$\xleftrightarrow{\mathcal{F}}$	$\frac{1}{ \alpha } X(\nu/\alpha)$
<i>Translation (<math>\nu</math>)</i>	$x(t)e^{2i\pi ft}$	$\xleftrightarrow{\mathcal{F}}$	$X(\nu - f)$
<i>Homothétie (<math>\nu</math>)</i>	$\frac{1}{ \alpha } x(t/\alpha)$	$\xleftrightarrow{\mathcal{F}}$	$X(\alpha\nu)$
<i>Conjugaison</i>	$x^*(t)$	$\xleftrightarrow{\mathcal{F}}$	$X^*(-\nu)$
<i>Convolution</i>	$[x * y](t)$	$\xleftrightarrow{\mathcal{F}}$	$X(\nu) Y(\nu)$
<i>Produit</i>	$x(t) y(t)$	$\xleftrightarrow{\mathcal{F}}$	$[X * Y](\nu)$
<i>Dérivation</i>	$d^m x(t)/dt^m$	$\xleftrightarrow{\mathcal{F}}$	$(2i\pi\nu)^m X(\nu)$

# Propriété de la transformée de Fourier : décalage

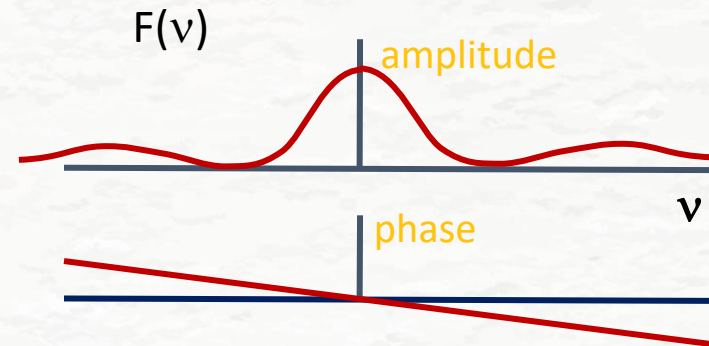
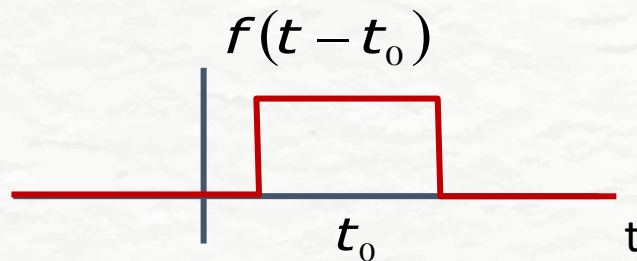
domaine du temps



domaine de la fréquence



$$e^{i\vartheta} = \cos\vartheta + i\sin\vartheta$$



# Propriété de la transformée de Fourier : convolution

<u>domaine du temps</u>	<u>domaine de la fréquence</u>
-------------------------	--------------------------------

$x(t)$	$X(\nu)$
$h(t)$	$H(\nu)$

convolution

$\Leftrightarrow$

produit

$$x(t) * h(t) = \int_{-\infty}^{\infty} x(\tau)h(t - \tau)d\tau$$

$$X(\nu) \cdot H(\nu)$$

produit

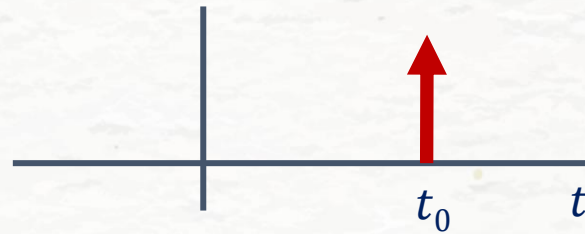
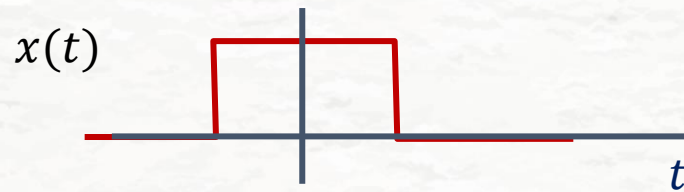
$\Leftrightarrow$

convolution

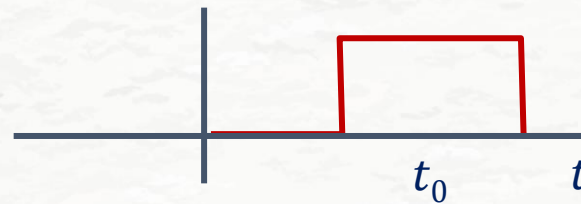
$$x(t) \cdot h(t)$$

$$X(\nu) * H(\nu)$$

# Convolution par une impulsion de Dirac



convolution:  $x(t) * \delta(t - t_0)$



## 1. Cadre 1D

- Révision
- Séries de Fourier : interprétation géométrique
- Extension : approche géométrique de la transformée de Fourier
- Échantillonnage
- Transformée de Fourier à temps discret et transformée de Fourier discrète

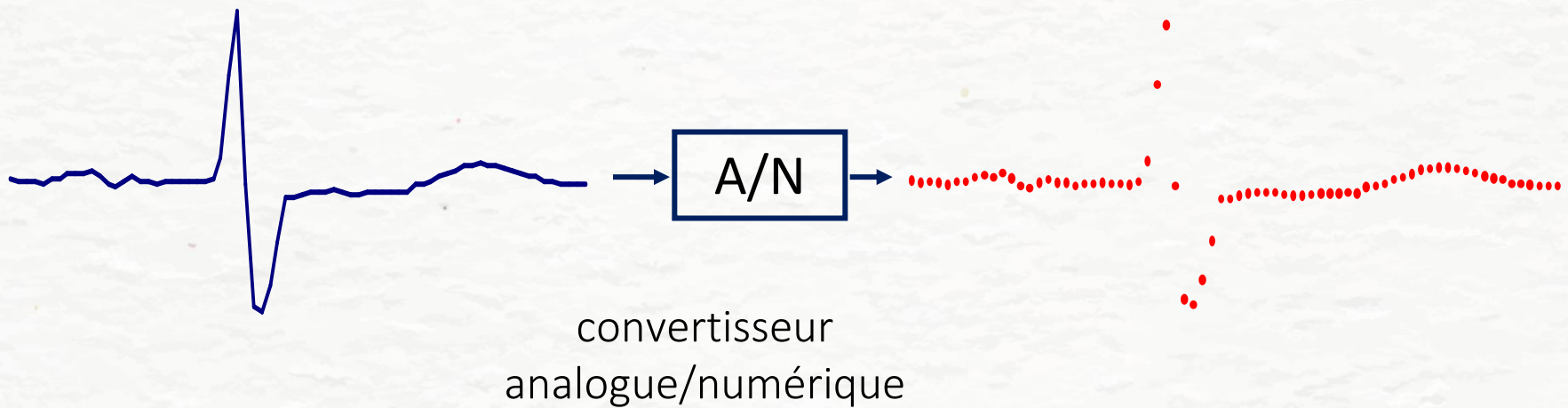
## 2. Cadre 2D

- Extension 2D de la transformée de Fourier
- Échantillonnage
- Aspects pratiques

# Échantillonnage

signal continu  $v(t)$

signal discret  $v_i$



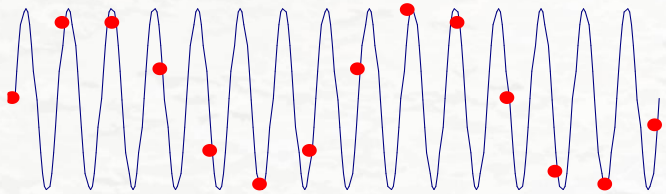
(c) Pierre Savard 2013

# Repliement

$$F_{\text{signal}} = 1 \text{ Hz}$$

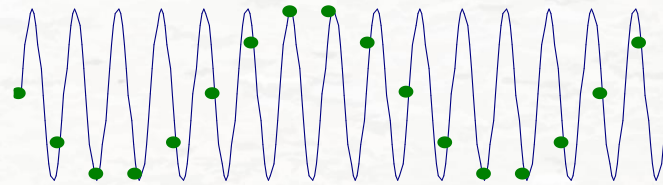
$$F_{\text{éch}} = 0.87 \text{ Hz}$$

$$F_{\text{observée}} = 0.11 \text{ Hz}$$

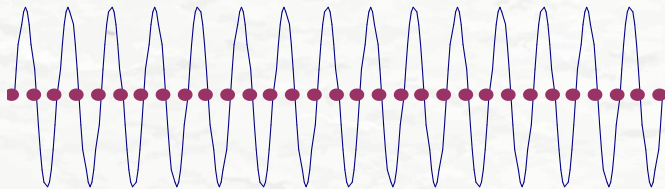


$$F_{\text{éch}} = 1.11 \text{ Hz}$$

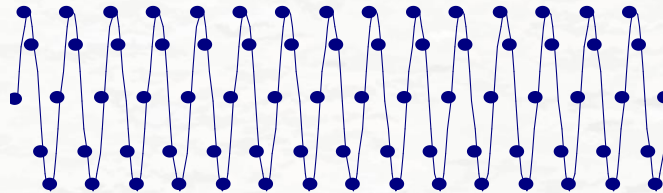
$$F_{\text{observée}} = 0.11 \text{ Hz}$$



$$F_{\text{éch}} = 2 \text{ Hz}$$



$$F_{\text{éch}} = 5 \text{ Hz} \rightarrow \text{correctement échantillonné}$$



fréquence d'échantillonnage pour éviter l'aliasing:  $> 2f_{\text{max}}$

slido



slido

Please download and install the Slido app on all computers you use



La fréquence la plus élevée que les humains peuvent entendre est autour de 20kHz.

Pour encoder la musique quelle est la fréquence minimale à laquelle on devrait échantillonner les ondes de pression?

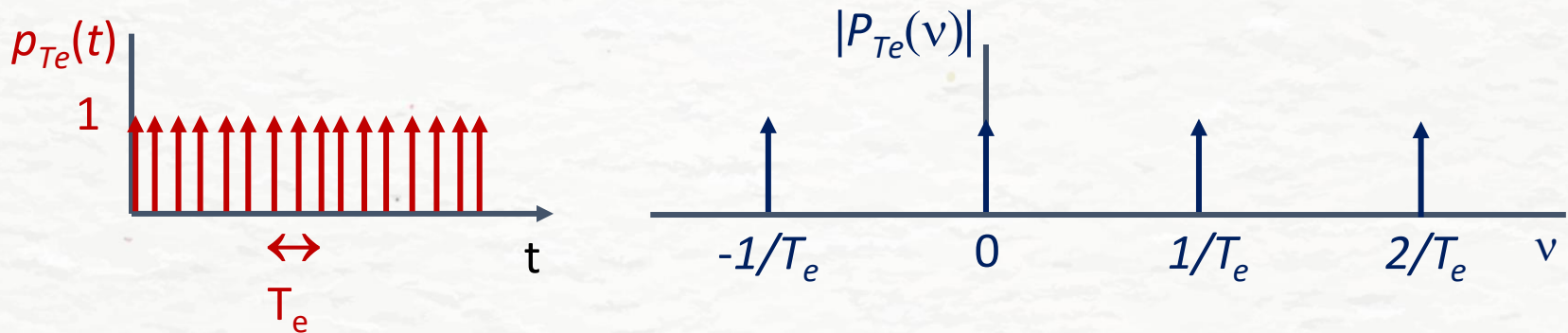
① Start presenting to display the poll results on this slide.

# Transformée de Fourier d'un train d'impulsions

Représentation mathématique de l'échantillonnage :

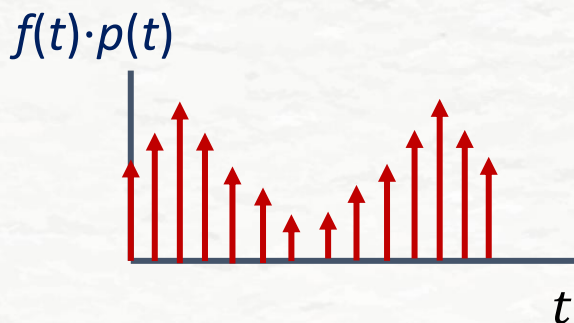
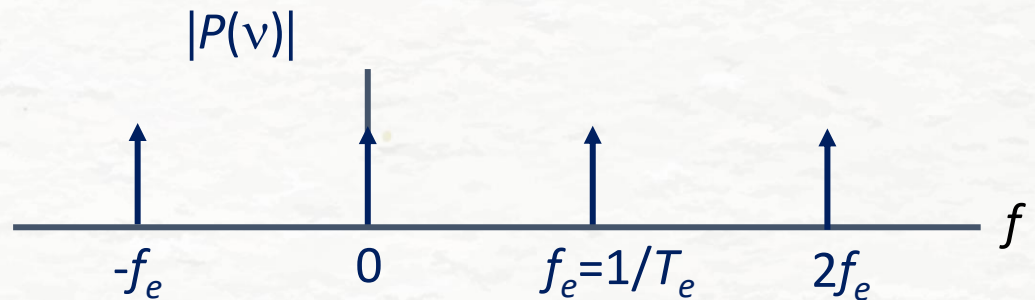
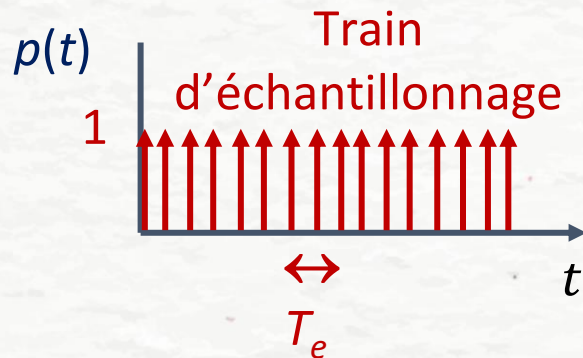
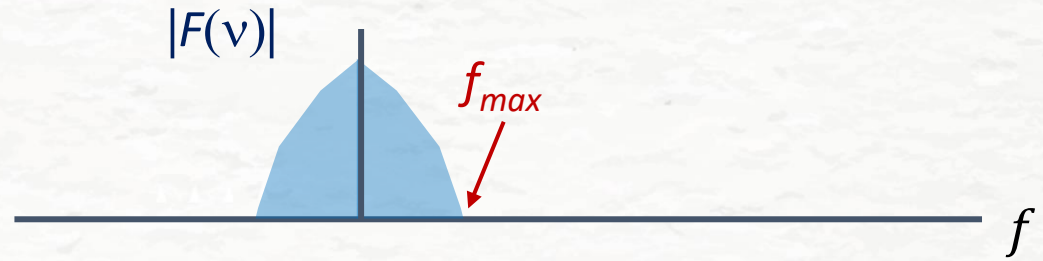
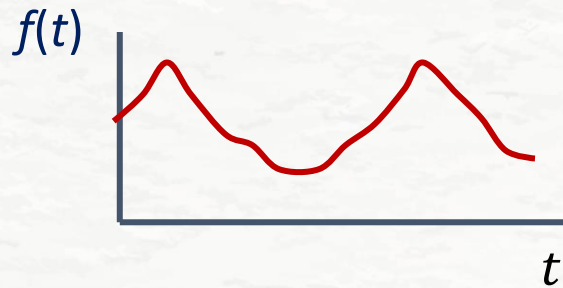
$$p_{T_e}(t) = \sum_{n=-\infty}^{\infty} \delta(t - nT_e)$$

domaine du temps  $\Leftrightarrow$  domaine de la fréquence



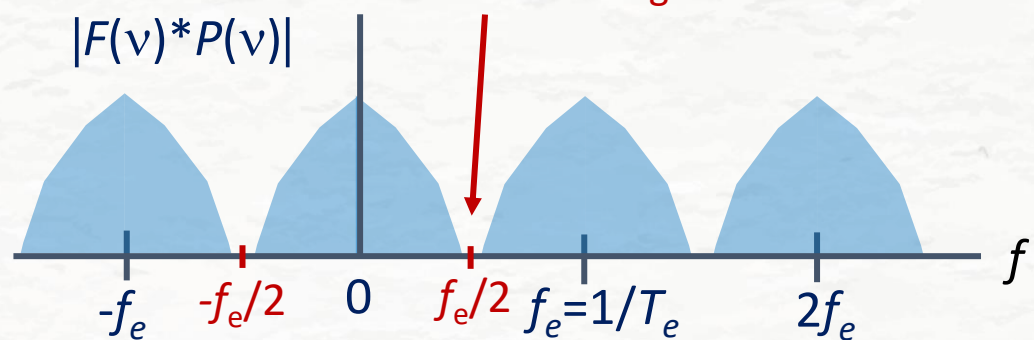
$$p_{T_e}(t) \xleftrightarrow{\mathcal{F}} P_{T_e}(\nu) = 1/T_e \sum_{k \in \mathbb{Z}} \delta(\nu - k/T_e)$$

# Conséquences spectrales de l'échantillonnage ( $f_e > 2f_{max}$ )



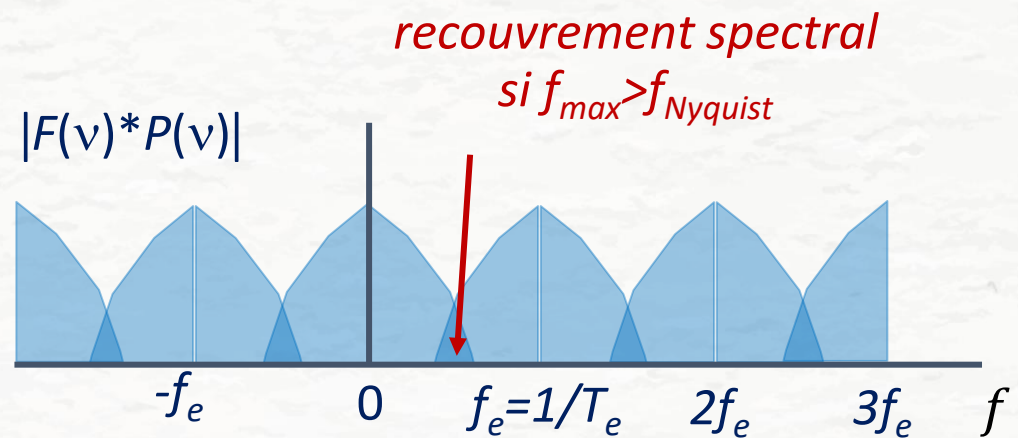
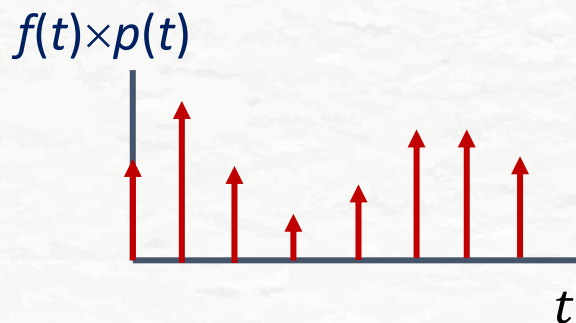
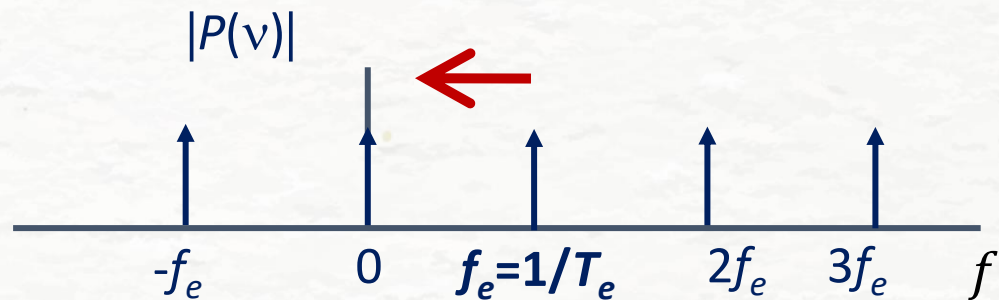
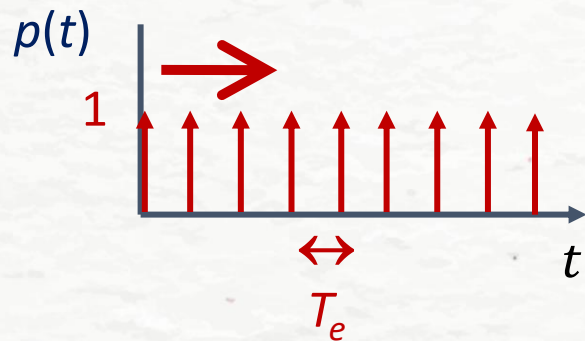
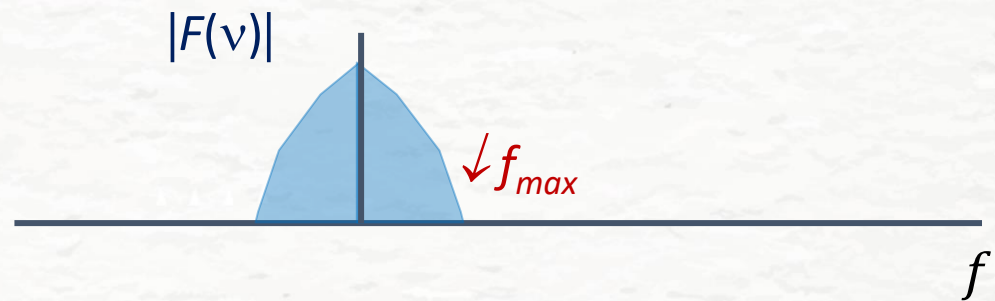
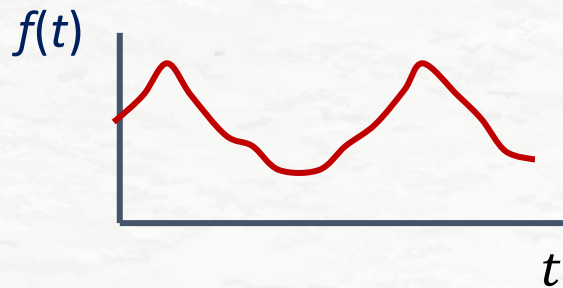
CONVOLUTION

$$|F(v) * P(v)|$$



Fréquence de Nyquist ( $f_{Nyquist} = f_e/2$ )  
Ici, plus élevée que la fréquence maximum du signal

# Conséquences spectrales de l'échantillonnage ( $f_e < 2f_{max}$ )



# Transformée de Fourier de signaux échantillonnés

## Synthèse

- $f_e(t) = \sum_{n \in \mathbb{Z}} f_n \delta(t - nT_e) \iff F_e(\nu)$  périodique de période  $1/T_e$

- TF :  $F_e(\nu) = \sum_{n \in \mathbb{Z}} f_n e^{-2i\pi\nu n T_e}$   $F_e(\nu) = \int f_e(t) e^{-2i\pi\nu t} dt$   
 $= \int \sum_{n \in \mathbb{Z}} f_n \delta(t - nT_e) e^{-2i\pi\nu t} dt = \sum_{n \in \mathbb{Z}} f_n e^{-2i\pi\nu n T_e}$

- TFI :  $f_n = T_e \int_0^{\frac{1}{T_e}} F_e(\nu) e^{2i\pi\nu n T_e} d\nu$

### Fonctions périodiques

- $f$   $T$ -périodique  $\iff f$  décomposable en série de Fourier

$$f(t) = \sum_{k \in \mathbb{Z}} F_k e^{2i\pi k t / T} \quad F_k = \frac{1}{T} \int_I f(t) e^{-2i\pi k t / T} dt$$

- Propriété de linéarité

$$F(\nu) = \sum_{k \in \mathbb{Z}} F_k \delta(\nu - k/T)$$

Rappel diapo 16  $\rightarrow$

- Si  $f_n = f(nT_e)$  avec  $f(t) \xleftrightarrow{\mathcal{F}} F(\nu)$ , alors  $F_e(\nu)$  est obtenu par périodisation de  $F(\nu)$  à la période  $1/T_e$ :  $F_e(\nu) = \frac{1}{T_e} \sum_{n \in \mathbb{Z}} F\left(\nu - \frac{n}{T_e}\right)$

# Échantillonnage (1)

## Principe

Échantillonnage à la période  $T_e$

- En pratique :  $f(t) \longrightarrow \{f(nT_e) ; n \in \mathbb{Z}\}$

- Représentation mathématique :  $p_{T_e}(t) = \sum_{n \in \mathbb{Z}} \delta(t - nT_e)$

$$f(t) \longrightarrow f_e(t) = p_{T_e}(t) f(t) = \sum_{n \in \mathbb{Z}} f(nT_e) \delta(t - nT_e)$$

- Remarque :  $p_{T_e}(t) \xleftrightarrow{\mathcal{F}} P_{T_e}(\nu) = 1/T_e \sum_{k \in \mathbb{Z}} \delta(\nu - k/T_e)$

# Échantillonnage (2)

Interprétation fréquentielle :  $f(t) \xleftrightarrow{\mathcal{F}} F(\nu)$

$$\begin{aligned}
 f_e(t) \xleftrightarrow{\mathcal{F}} F_e(\nu) &= P_{T_e}(\nu) * F(\nu) \\
 &= \left( 1/T_e \sum_{k \in \mathbb{Z}} \delta(\nu - k/T_e) \right) * F(\nu) \\
 &= 1/T_e \sum_{k \in \mathbb{Z}} F(\nu - k/T_e)
 \end{aligned}$$

- $F_e(\nu)$  obtenu par « périodisation » de  $F(\nu)$  à la période  $1/T_e$

- Calcul direct :  $F_e(\nu) = \sum_{n \in \mathbb{Z}} f(nT_e) e^{-2i\pi\nu nT_e}$

On retrouve que  $F_e(\nu)$  est périodique de période  $1/T_e$

# Échantillonnage (3)

## Interprétation fréquentielle : réciproque

$F(\nu)$  périodique de période  $1/T_e$

- DSF (“Discrete Fourier Series”) de  $F(\nu)$  :

$$F(\nu) = \sum_{k \in \mathbb{Z}} F_k e^{-2i\pi\nu k T_e} \quad ; \quad F_k = T_e \int_0^{\frac{1}{T_e}} F(\nu) e^{2i\pi\nu k T_e} d\nu$$

$F_k$  : coefficient du DSF d’indice  $-k$

- TFI de  $F(\nu)$  :  $f(t) = \sum_{k \in \mathbb{Z}} F_k \delta(t - kT_e)$

## Conséquence

$f(t)$  échantillonné à la période  $T_e$

$$f(nT_e) = T_e \int_0^{\frac{1}{T_e}} F(\nu) e^{2i\pi\nu n T_e} d\nu$$

# Théorème d'échantillonnage (1)

## Position du problème

Possibilité de passer de manière réversible (sans perte d'information) de  $f_e(t)$  à  $f(t)$  ?

## Solution

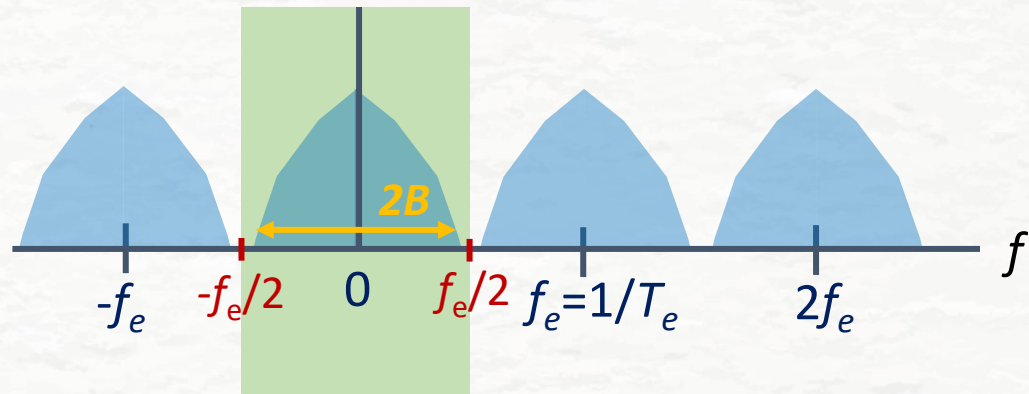
- Domaine temporel
  - $f(t) \rightarrow f_e(t)$  : immédiat
  - $f_e(t) \rightarrow f(t)$  : ???
- Domaine fréquentiel
  - $F(\nu) \rightarrow F_e(\nu)$  :  $1/T_e$  périodisation
  - $F_e(\nu) \rightarrow F(\nu)$  : retrouver  $F(\nu)$  dans sa version périodisée  $F_e(\nu)$

Possible si la périodisation de  $F(\nu)$  se fait sans recouvrement

# Théorème d'échantillonnage (2)

## Condition suffisante

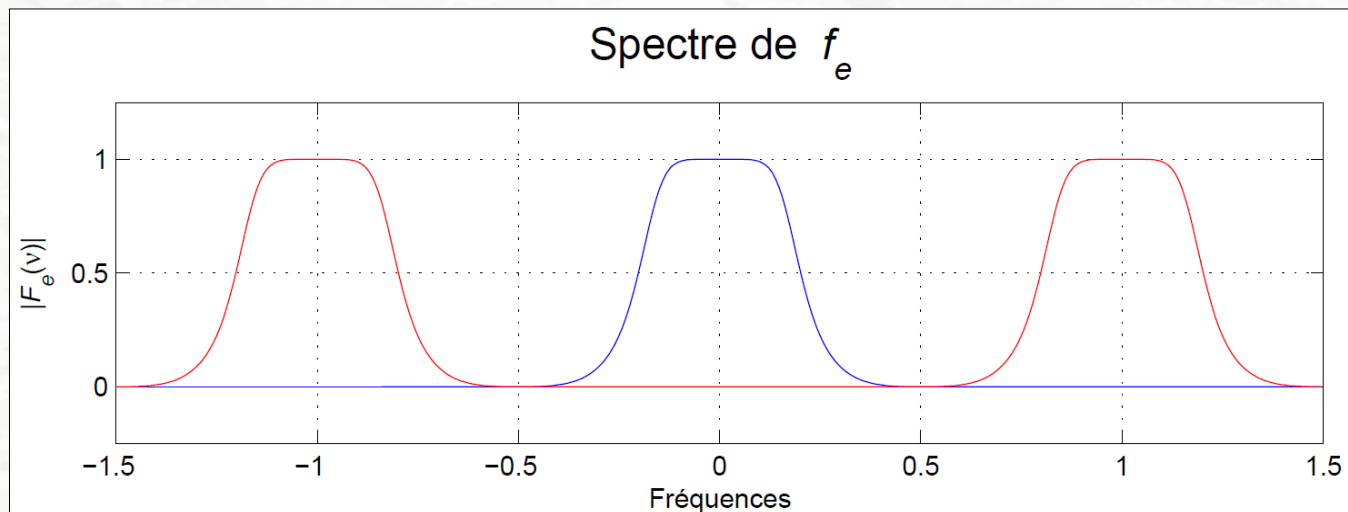
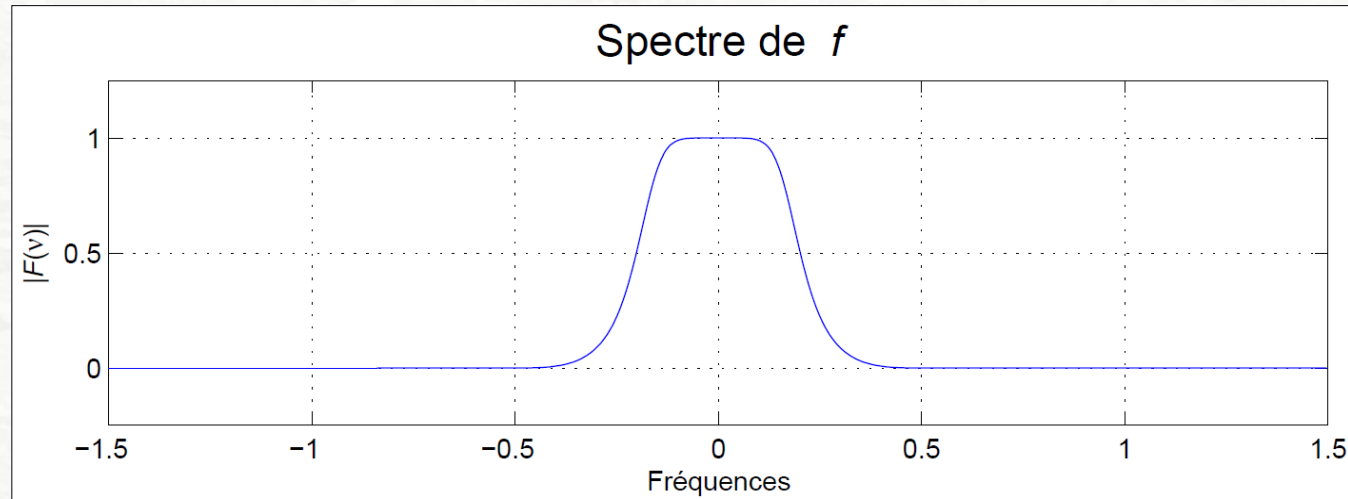
- $F(v)$  à bande limitée  $[-B, B]$ :  $F(v) = 0$  si  $|v| > B$
- Si  $2B < 1/T_e$ ,  $f(t)$  peut être échantillonné sans perte d'information



## En pratique

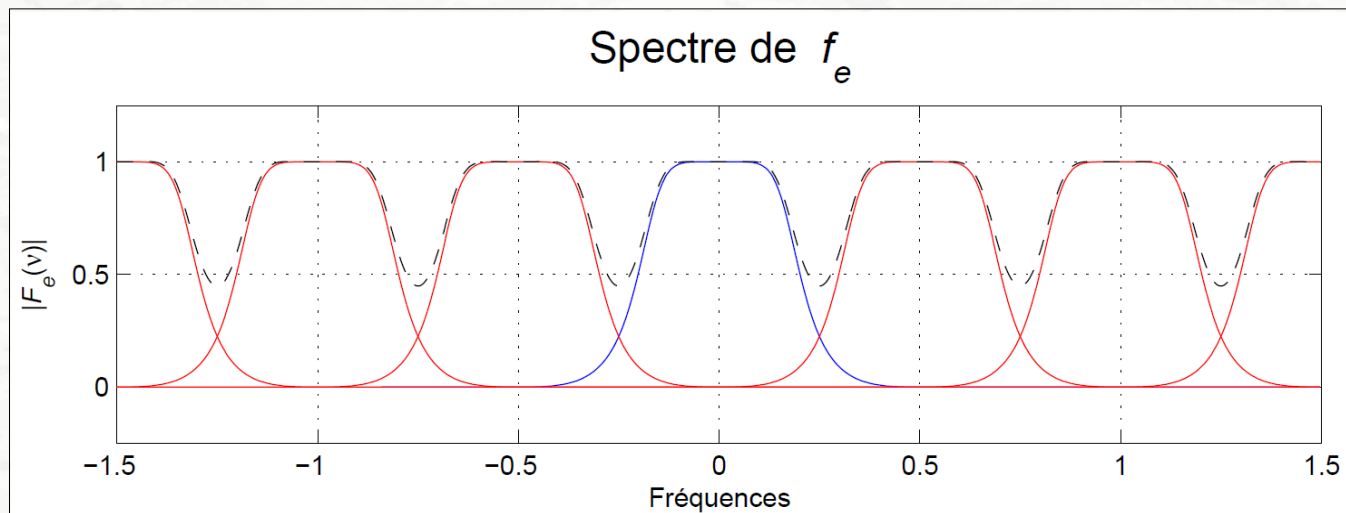
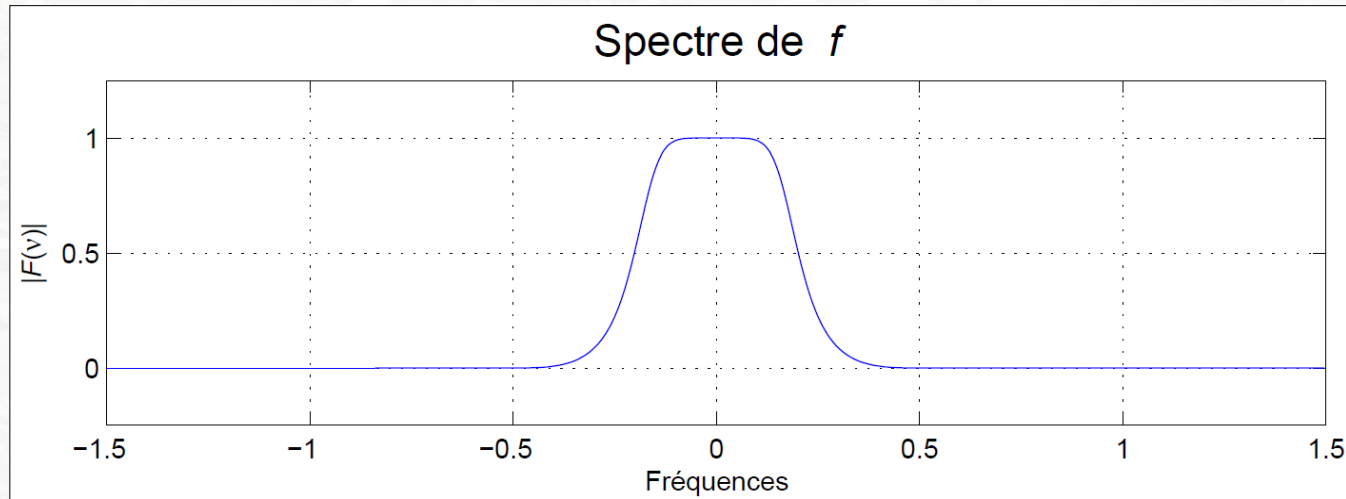
- $F_e(v)$  défini à partir de sa « période centrale »  $\left[ -\frac{f_e}{2}, \frac{f_e}{2} \right]$

# Théorème d'échantillonnage : illustration



$T_e = 1$  : échantillonnage sans recouvrement

# Théorème d'échantillonnage : illustration



$T_e = 2$  : échantillonnage avec recouvrement

# Échantillonnage et reconstruction : synthèse

## Échantillonnage

- $F(\nu) \longrightarrow F_e(\nu) = 1/T_e \sum_{k \in \mathbb{Z}} F(\nu - k/T_e) = \sum_{n \in \mathbb{Z}} f(nT_e) e^{-2i\pi\nu nT_e}$
- $f(t) \longrightarrow f_e(t) = p_{T_e}(t) f(t) = \sum_{n \in \mathbb{Z}} f(nT_e) \delta(t - nT_e)$

## Reconstruction (si le théorème d'échantillonnage est satisfait)

- $F_e(\nu) \longrightarrow F(\nu) = T_e F_e(\nu) \text{Rect}_{[-1/(2T_e), 1/(2T_e)]}(\nu)$

$$f_e(t) \longrightarrow f(t) = f_e(t) * \frac{\sin(\pi t/T_e)}{\pi t/T_e} = \sum_{n \in \mathbb{Z}} f(nT_e) \frac{\sin(\pi(t - nT_e)/T_e)}{\pi(t - nT_e)/T_e}$$

## Illustration

Voir démonstration [demo\\_replie1D](#)

# Aspects pratiques

---

## Situations typiques

- Souvent impossible d'éviter le recouvrement spectral

**Filtrage passe-bas anti-repliement avant l'échantillonnage**

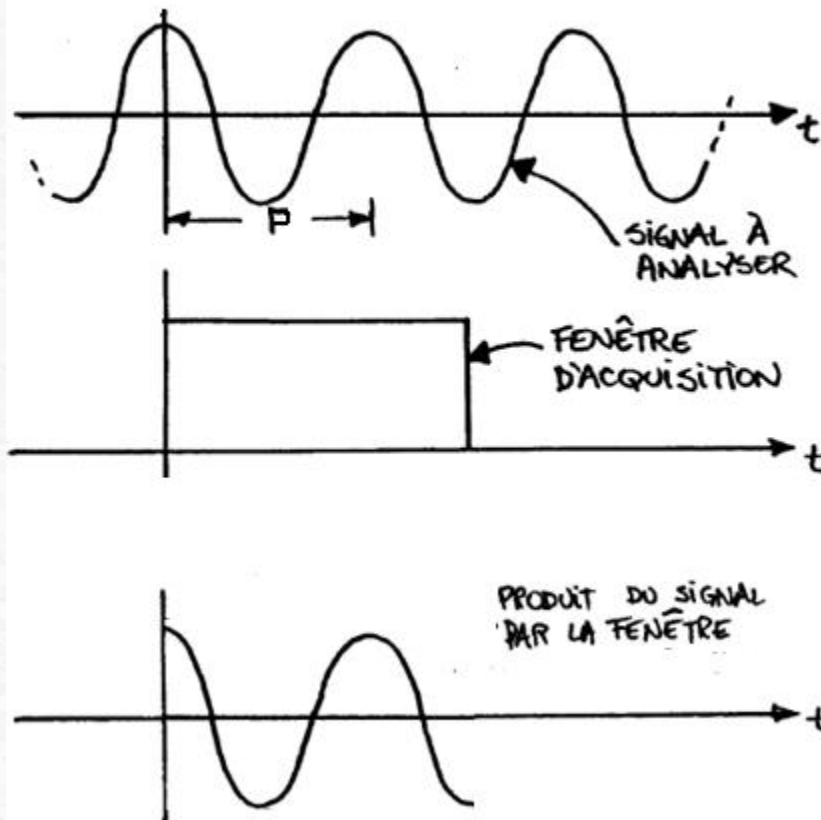
[https://www.youtube.com/watch?v=p08WDDNjwAE&ab\\_channel=SimonHutchinson](https://www.youtube.com/watch?v=p08WDDNjwAE&ab_channel=SimonHutchinson)

- Manipulation de quantités numérisées
  - Domaine temporel ou spatial : nécessité de données discrétisées
  - Passage au domaine fréquentiel : **variable  $\nu$  continue !**
  - Outil disponible : transformée de Fourier rapide (FFT)

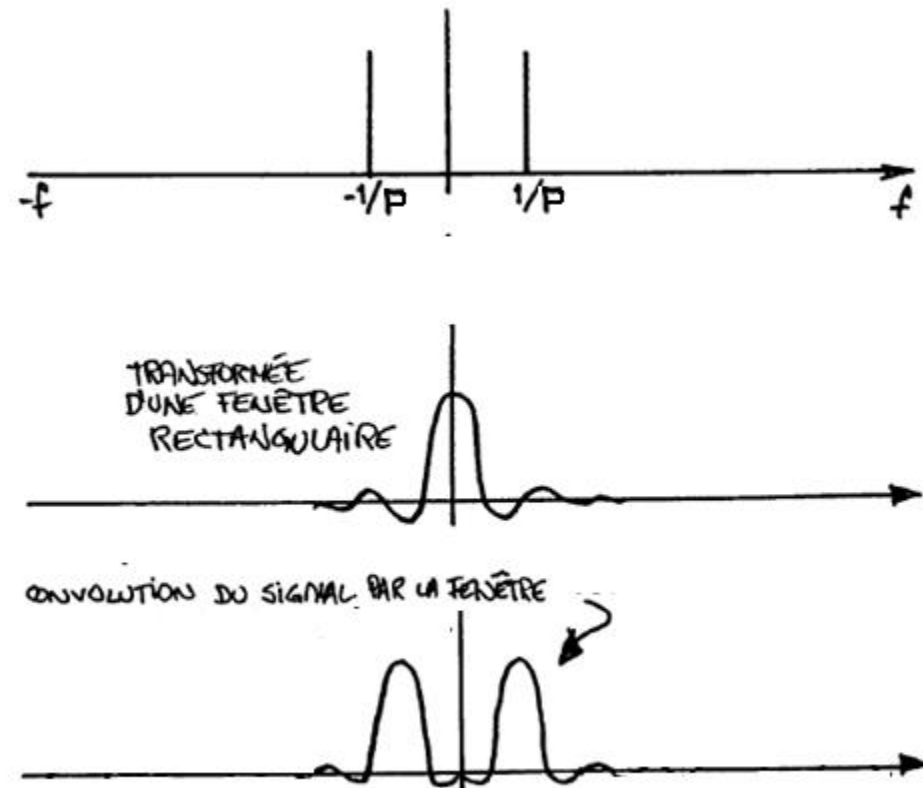
**Comment obtenir, interpréter et manipuler des fréquences discrètes ?**

# Aspects pratiques : Durée finie de la fenêtre d'acquisition

domaine du temps



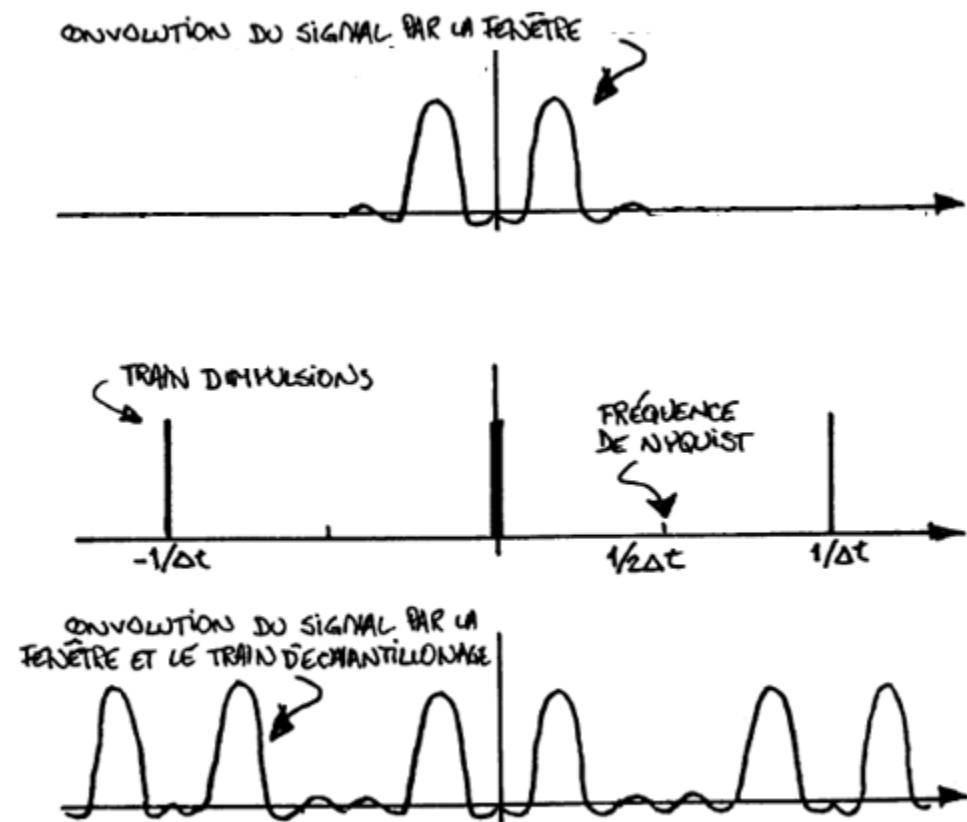
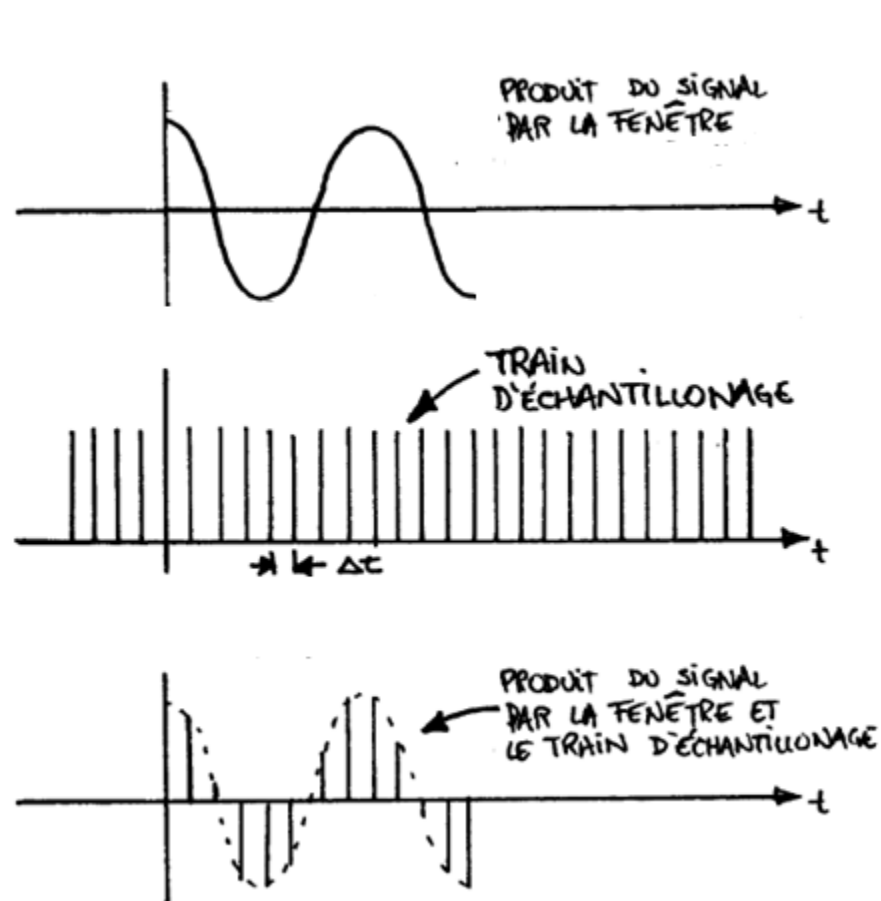
domaine de la fréquence



# Aspects pratiques : Durée finie de la fenêtre d'acquisition

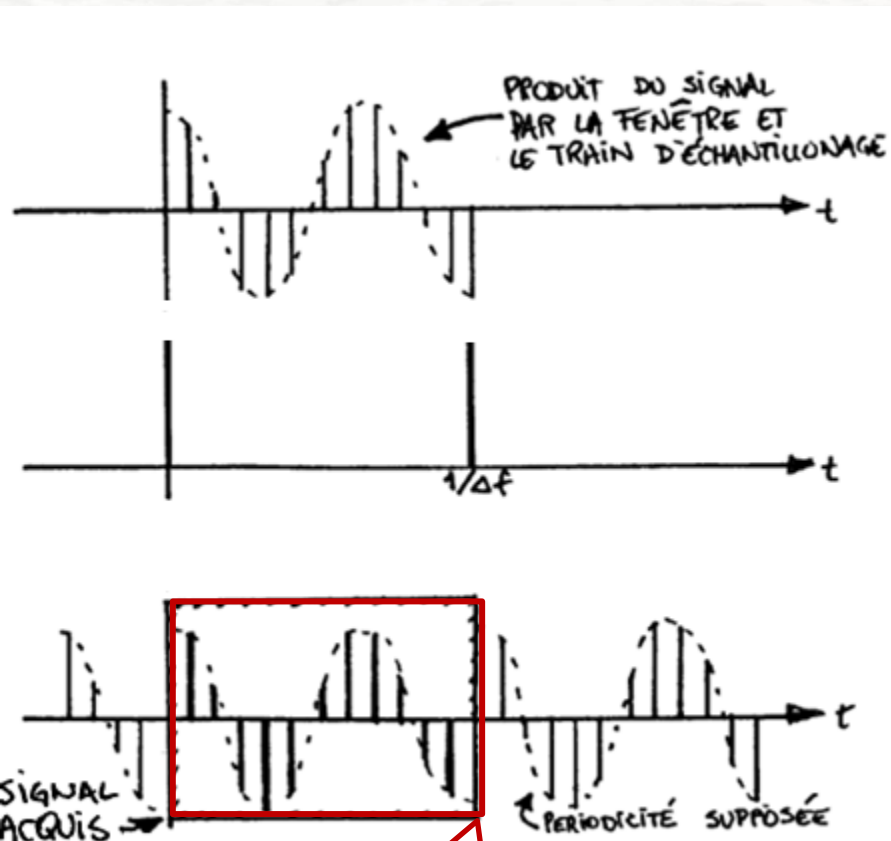
domaine du temps

domaine de la fréquence



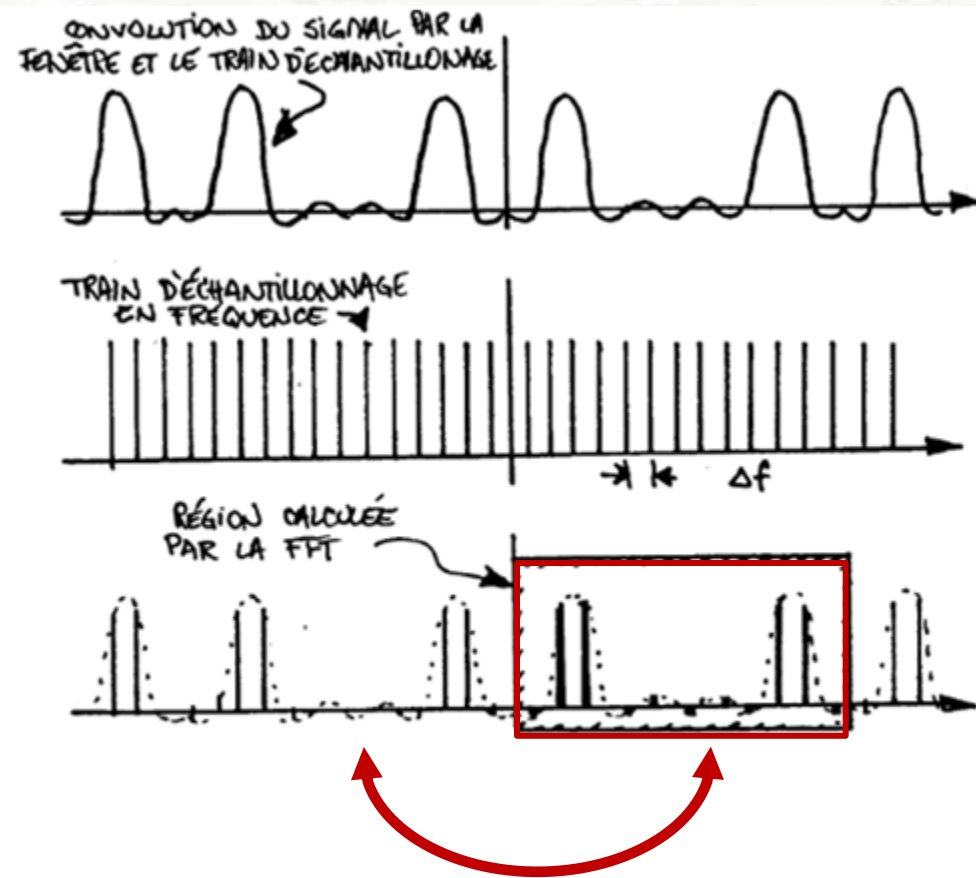
# Aspects pratiques : échantillonnage fréquentiel et périodicité implicite

domaine du temps



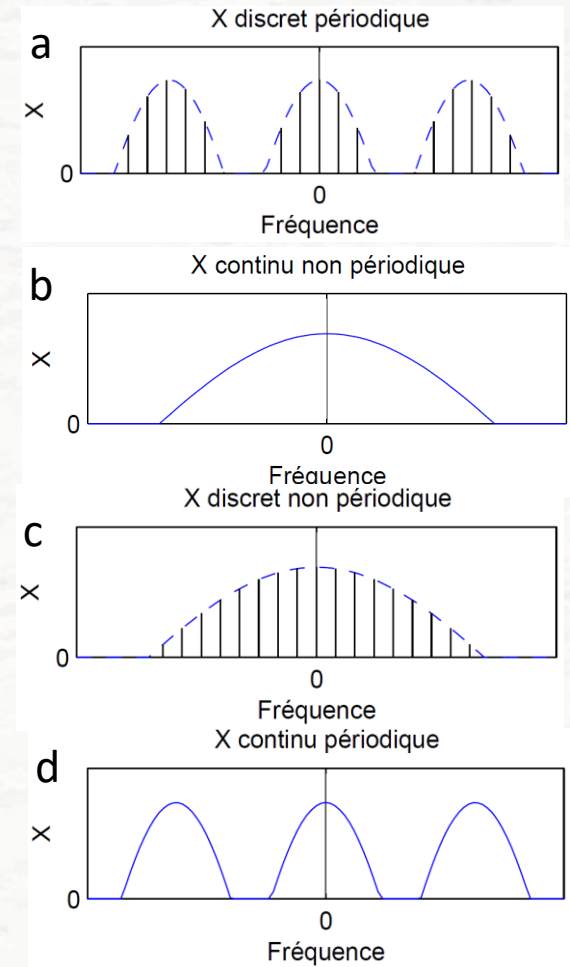
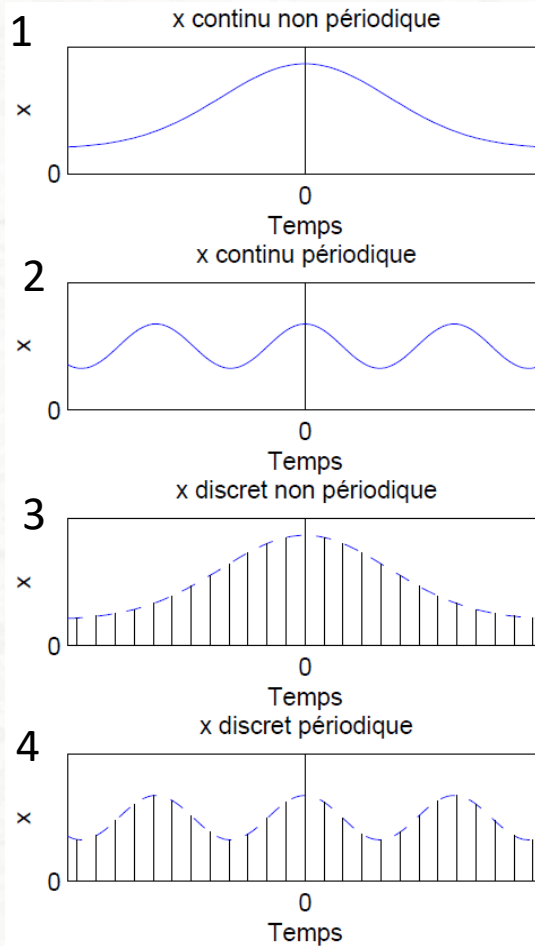
saut brusque

domaine de la fréquence



# Caractéristiques de la transformée de Fourier

slido



slido

Please download and  
install the Slido app on  
all computers you use



## Associez les signaux a leur TF

① Start presenting to display the poll results on this slide.

## 1. Cadre 1D

- Révision
- Séries de Fourier : interprétation géométrique
- Extension : approche géométrique de la transformée de Fourier
- Échantillonnage
- Transformée de Fourier à temps discret et transformée de Fourier discrète

## 2. Cadre 2D

- Extension 2D de la transformée de Fourier
- Échantillonnage
- Aspects pratiques

# Signaux à temps discret

## Définitions et propriétés

- Signal à temps discret :

$$\{f_n ; n \in \mathbb{Z}\}$$

Rappel diapo 35 →

### Transformée de Fourier de signaux échantillonnés

#### Synthèse

- $f_e(t) = \sum_{n \in \mathbb{Z}} f_n \delta(t - nT_e) \iff F_e(\nu)$  périodique de période  $1/T_e$

- TF :  $F_e(\nu) = \sum_{n \in \mathbb{Z}} f_n e^{-2i\pi\nu n T_e}$

- TFI :  $f_n = T_e \int_0^{\frac{1}{T_e}} F_e(\nu) e^{2i\pi\nu n T_e} d\nu$

- Transformé de Fourier à temps discret :

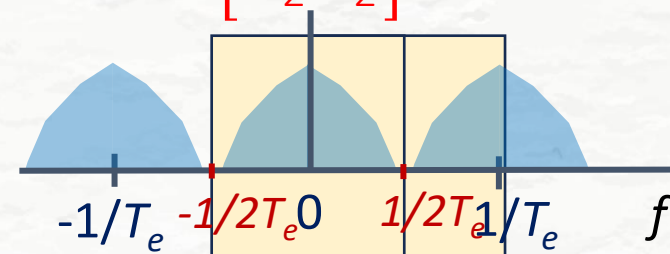
$\nu_r$  : fréquence réduite à valeurs continues

$$F(\nu_r) = \sum_{n \in \mathbb{Z}} f_n e^{-2i\pi n \nu_r}$$

$$\nu_r \in \left[-\frac{1}{2}, \frac{1}{2}\right]$$

- Transformée de Fourier inverse à temps discret:

$$f_n = \int_{-\frac{1}{2}}^{\frac{1}{2}} F(\nu_r) e^{2i\pi n \nu_r} d\nu_r$$



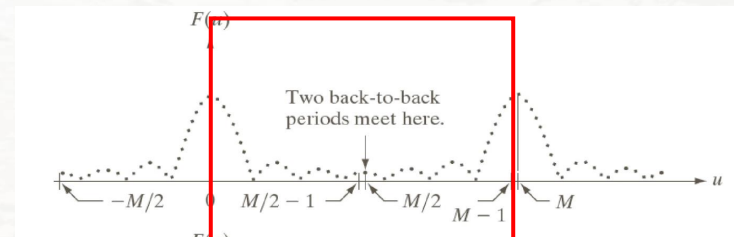
# Transformée de Fourier discrète

## Formalisation

$\nu_r$  : fréquence réduite à valeurs continues

$$F(\nu_r) = \sum_{n \in \mathbb{Z}} f_n e^{-2i\pi n \nu_r}$$

- $N$  échantillons dans l'intervalle  $[0, 1]$



- Fréquences discrétisées :  $\nu = \frac{k}{N}$ ,  $k = 0, 1, \dots, N-1$

$$F_k = \sum_{n=0}^{N-1} f_n e^{-2i\pi kn/N}$$

Transformée de Fourier discrète

$$f_n = \frac{1}{N} \sum_{k=0}^{N-1} F_k e^{2i\pi kn/N}$$

Inverse transformée de Fourier discrète

## Mise en œuvre

Calcul rapide par FFT si  $N$  est une puissance entière de 2

# TF discrète et problèmes pratiques (1)

## TF discrète et représentation spectrale

- $N$  échantillons  $f_n$  ;  $0 \leq n \leq N - 1$ . Que représente sa TFD  $F_k$  ;  $0 \leq k \leq N - 1$ ?
- Si  $f$  exactement périodique de période  $N$

$F_k$  : transformée de Fourier « exacte »

- Si  $f$  nulle à l'extérieur de  $[0, N - 1]$

$F_k = F(v_r)$  pour  $v_r = k/N$

# TF discrète et problèmes pratiques (2)

## Conséquences

- $f$  périodique, mais la fenêtre d'acquisition ne contient pas un nombre entier de périodes de  $f$  : erreur de représentation du spectre

Illustration : voir démonstration `demo_sin`

- Si  $f$  nulle à l'extérieur de  $[0, N - 1]$  : on peut obtenir une meilleure représentation du spectre,  $F(v_r)$ , en prolongeant  $\{fn ; 0 \leq n \leq N - 1\}$  par des 0.

Illustration : voir démonstration `demo_bourrage`

- Symétriquement : ré-échantillonnage de  $f$  en prolongeant  $F_k$  par des 0

# TF discrète et problèmes pratiques (3)

---

## Convolution par FFT

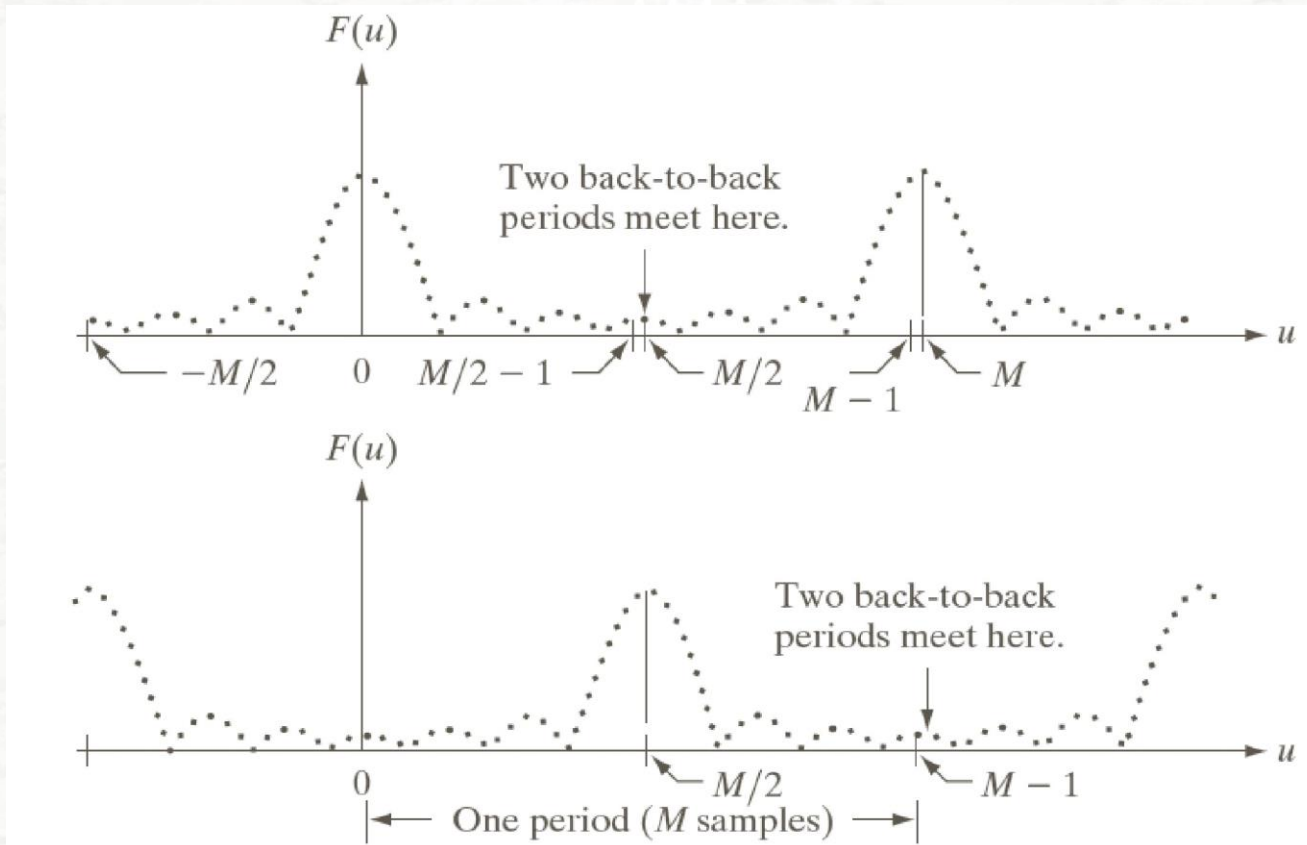
- Convolution :  $(f * h)(n) \xleftrightarrow{\mathcal{F}}$  Produit :  $F_k H_k$
- $F$  et  $H$  doivent avoir la même taille  $\Leftrightarrow f$  et  $h$  doivent avoir la même taille
- Hypothèse sur  $f$  et  $h$  : **périodicité**
  - convolution « circulaire »
  - Si  $f$  et  $h$  pas périodique: prolongement de  $f$  et  $h$  par des zéros pour obtenir une taille  $P \geq \text{taille}(f) + \text{taille}(h) - 1$
- **Quantités réelles  $\Leftrightarrow$  TF paire**

## Rééchantillonnage (décimation)

Nécessité d'un filtrage passe-bas pour éviter le recouvrement spectral

# TF discrète et problèmes pratiques (4)

## Indexation de la TFD

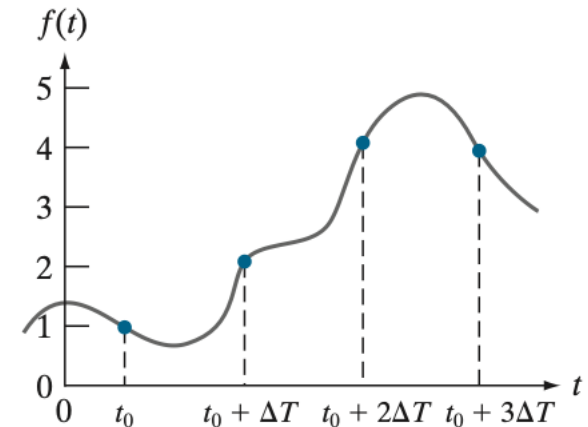


# Exemple

Considérez le signal échantillonné  $f(t)$  ci-bas. Quel seront les valeurs  $F_k$  obtenue avec la TFD (en format  $x+iy$ )?

$$F_k = \sum_{n=0}^{N-1} f_n e^{-2i\pi kn/N}$$

slido



© 1992-2008 R. C. Gonzalez & R. E. Woods

slido

Please download and install the Slido app on all computers you use



**Considérez le signal échantillonné  $f(t)$  ci-bas. Quel seront les valeurs  $F_k$  obtenue avec la TFD?**

① Start presenting to display the poll results on this slide.

# Devoir

---

Montrez que la transformée de Fourier continue est une opération linéaire. Vous pouvez faire la preuve en 1D.

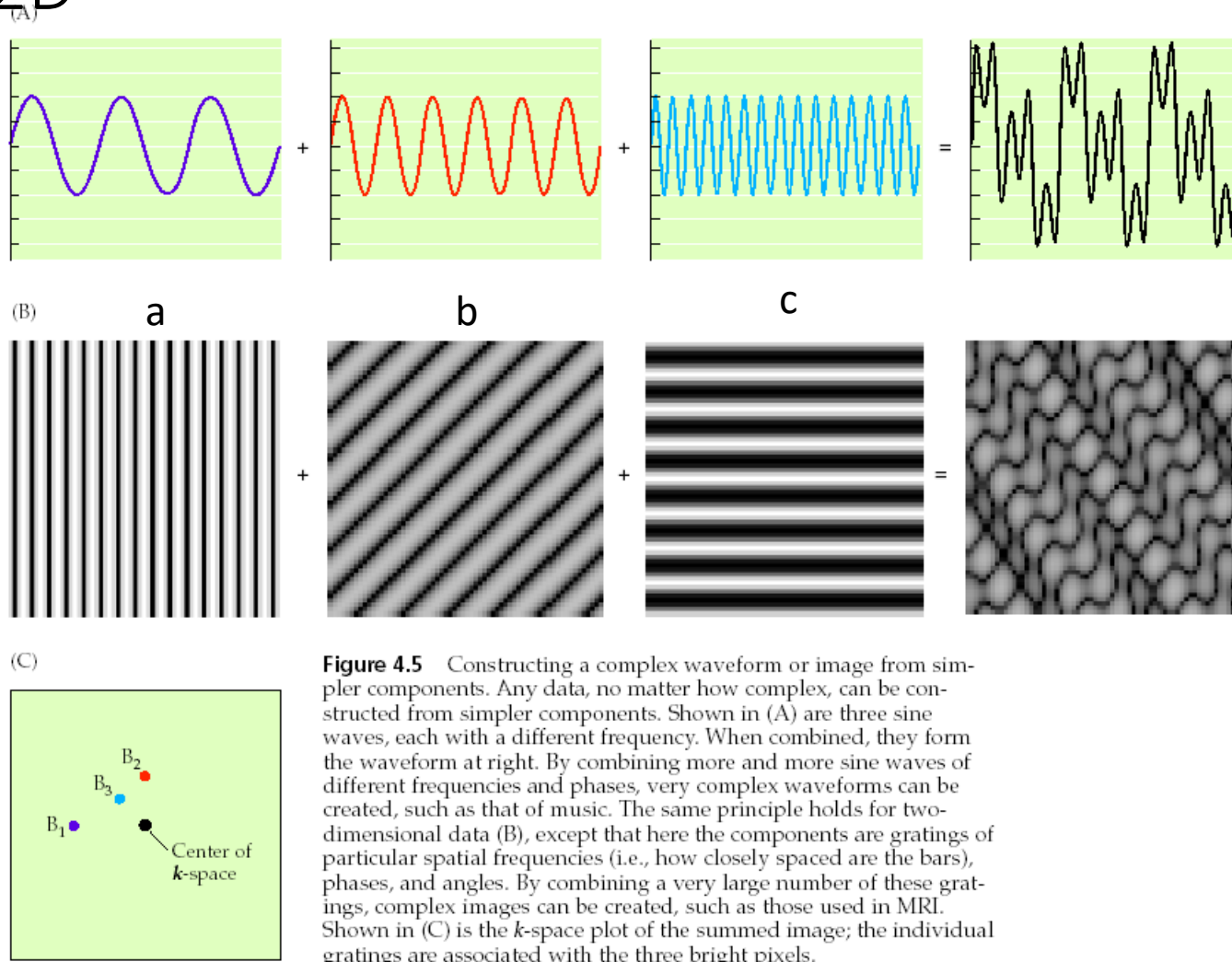
## 1. Cadre 1D

- Révision
- Séries de Fourier : interprétation géométrique
- Extension : approche géométrique de la transformée de Fourier
- Échantillonnage
- Transformée de Fourier à temps discret et transformée de Fourier discrète

## 2. Cadre 2D

- Extension 2D de la transformée de Fourier
- Échantillonnage
- Aspects pratiques

# Représentation spectrale – extension à 2D



slido



slido

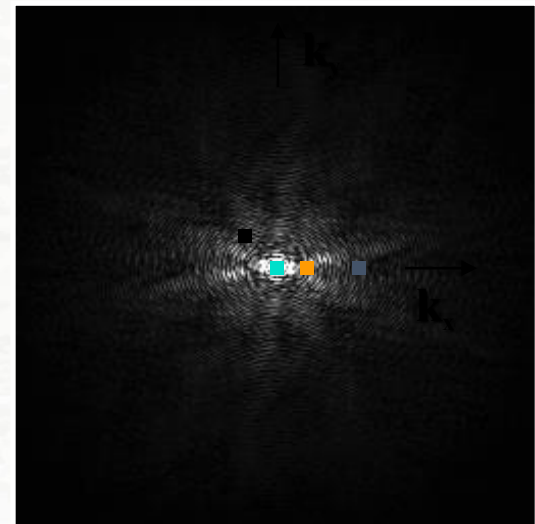
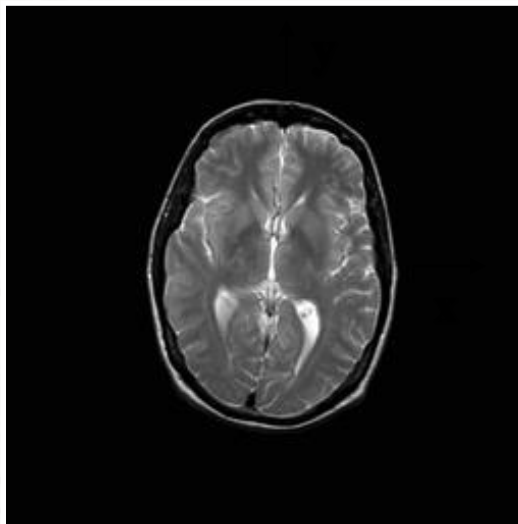
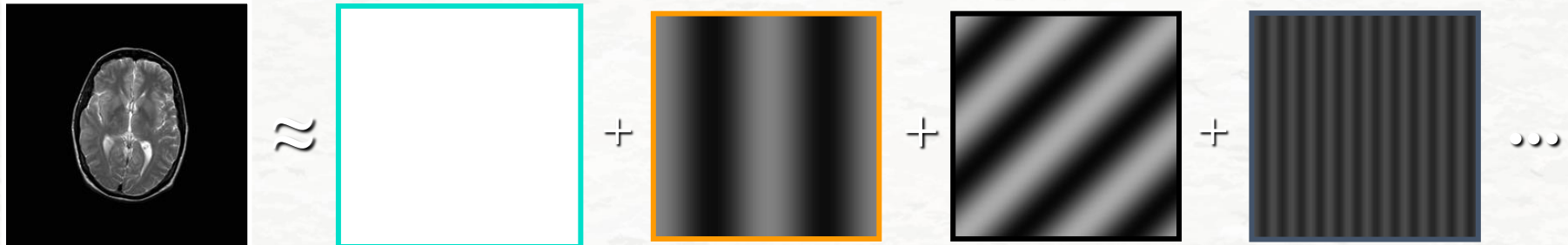
Please download and  
install the Slido app on  
all computers you use

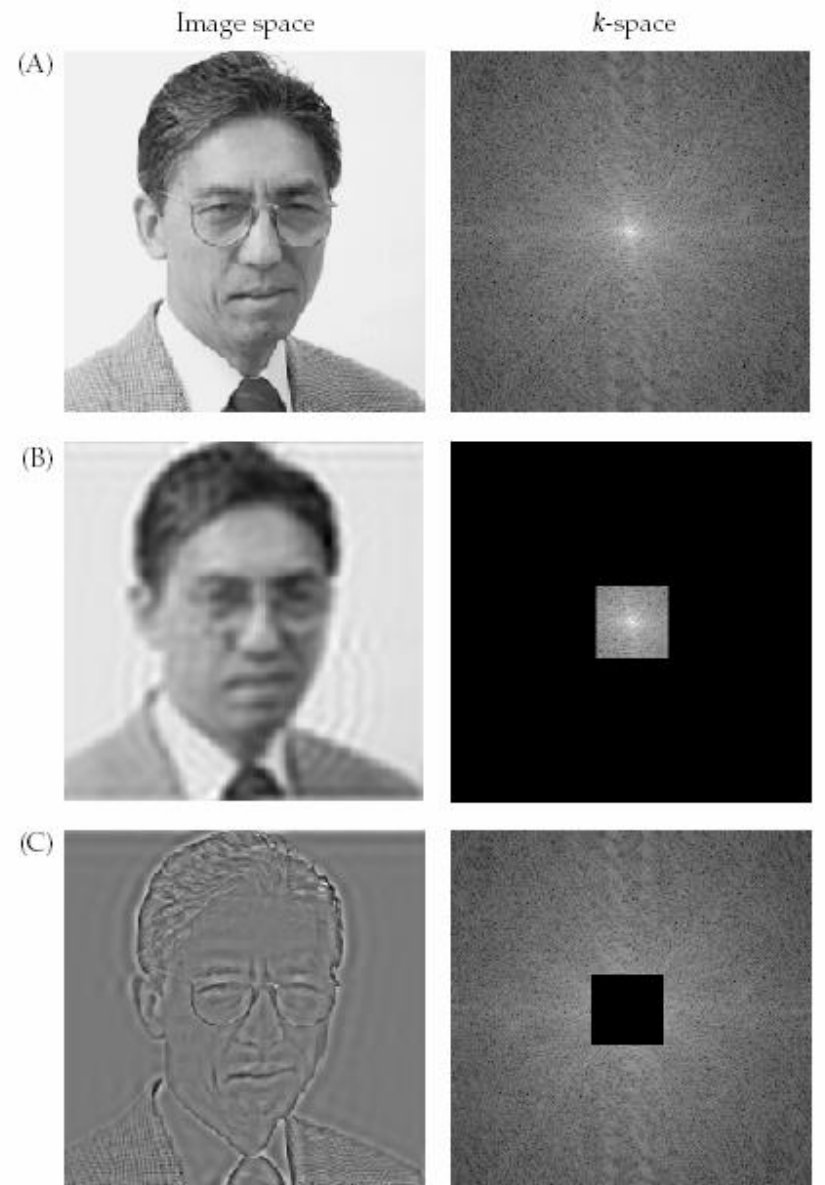
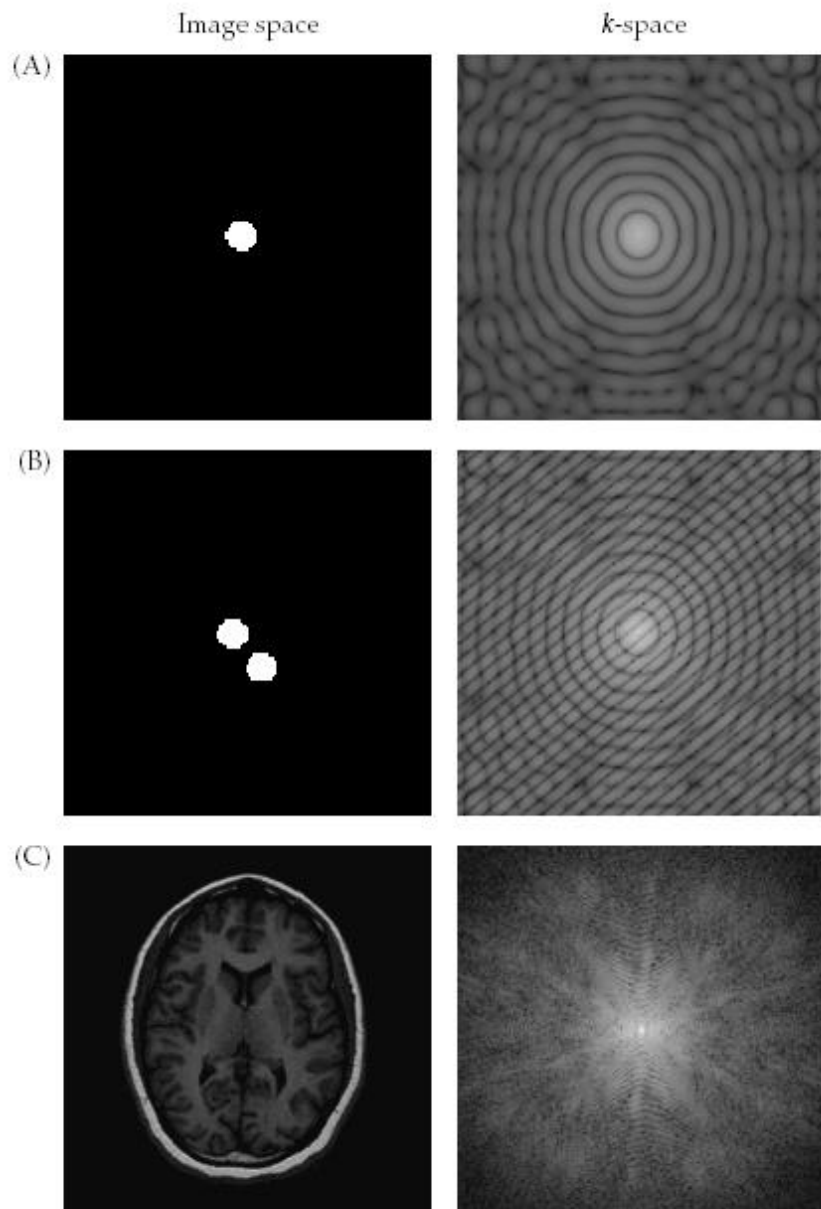


**Quels points sur l'image  
du spectre  
correspondent aux  
images ?**

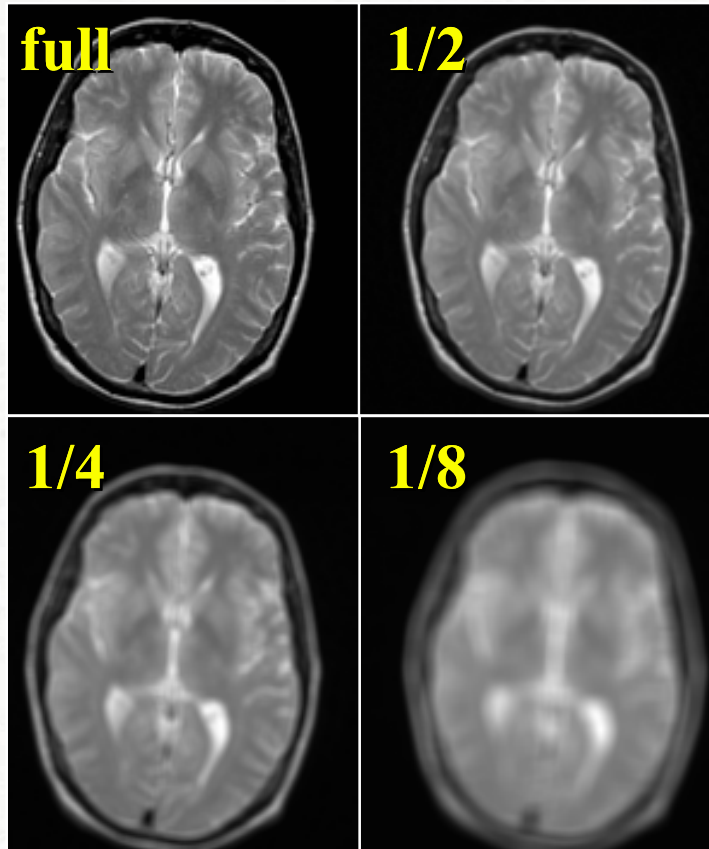
① Start presenting to display the poll results on this slide.

# Représentation spectrale – extension à 2D

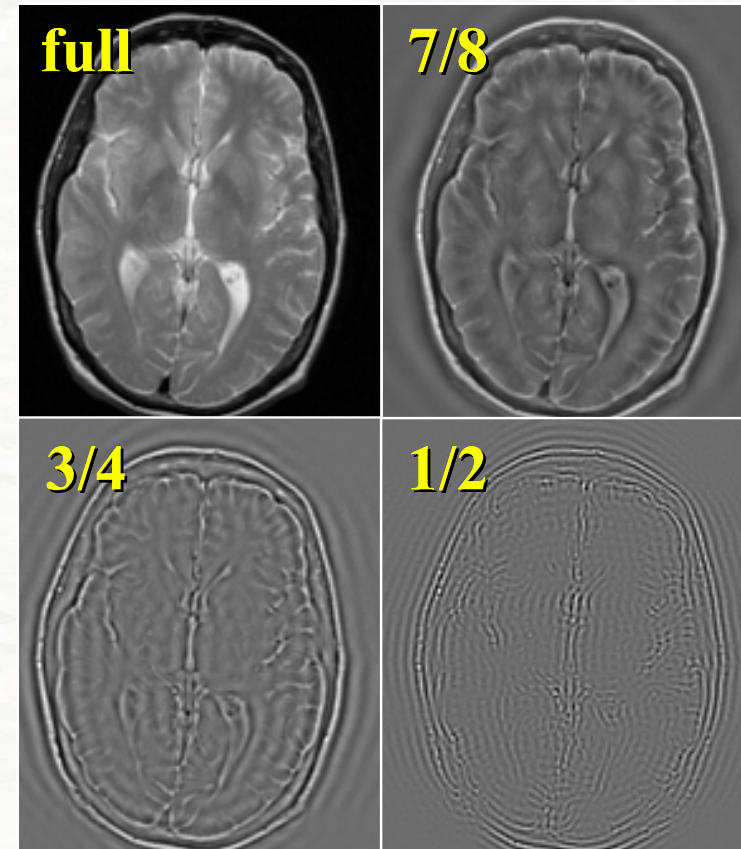


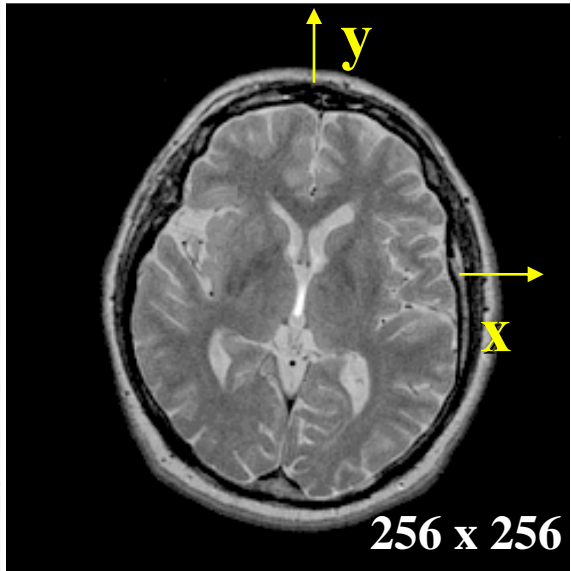


# Low Spatial Frequencies

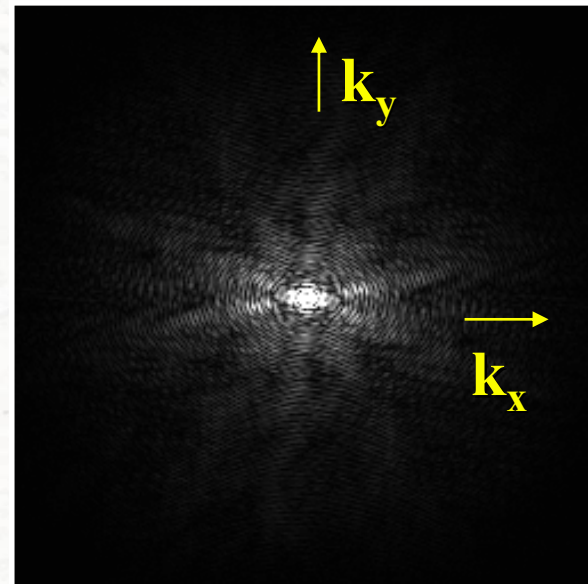


# High Spatial Frequencies

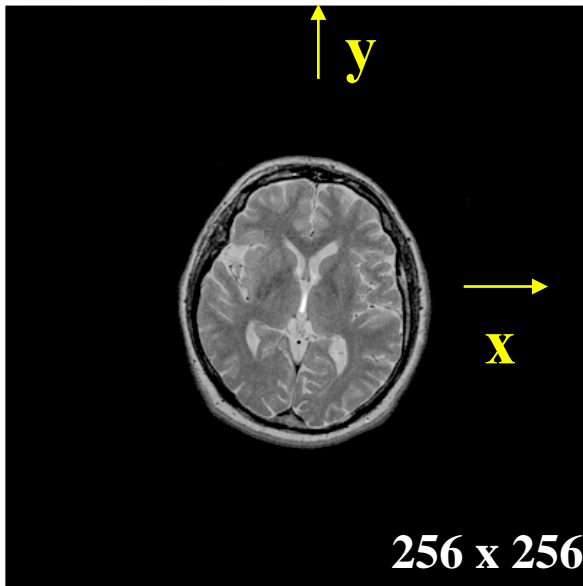




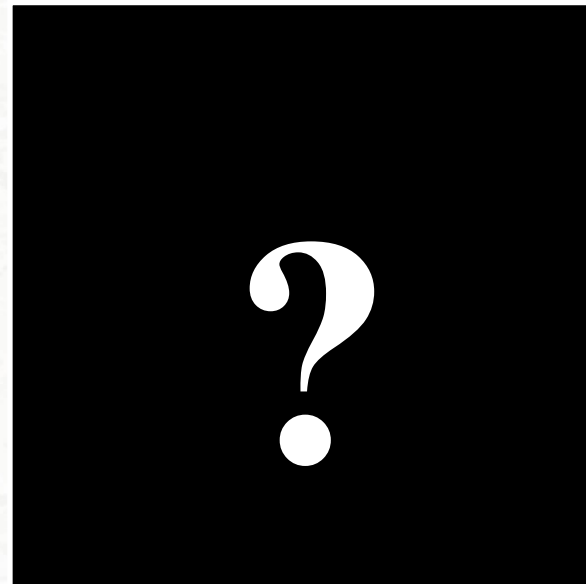
FFT



slido



FFT



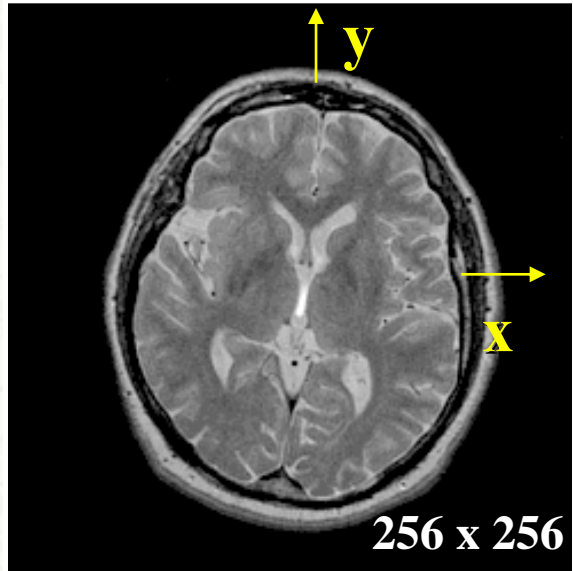
slido

Please download and  
install the Slido app on  
all computers you use

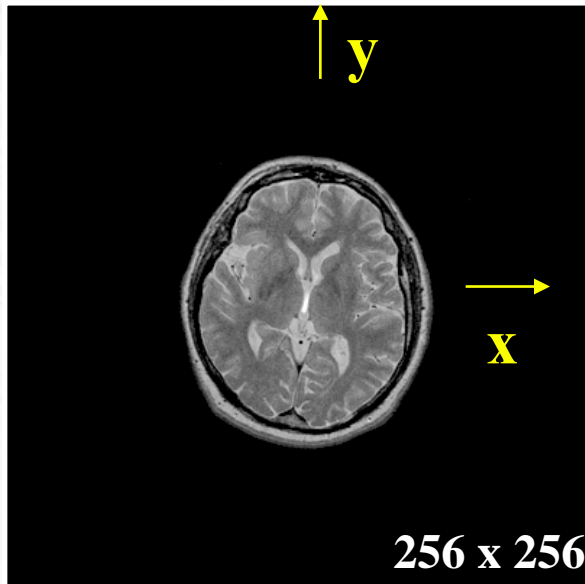
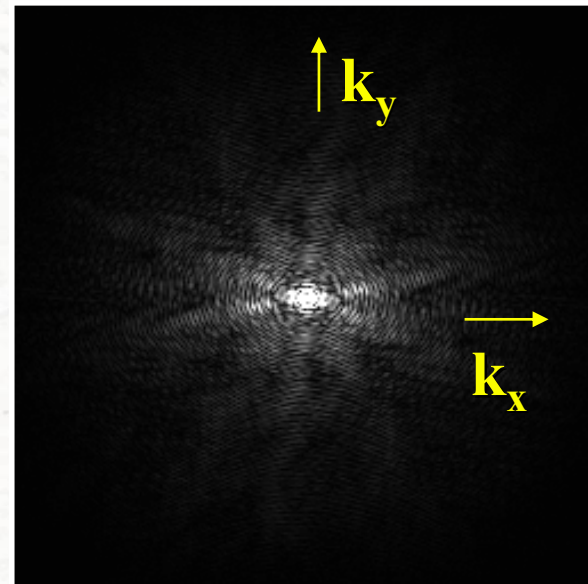


**De quoi aura l'air la TF  
de l'image "zoomed-out"  
/ sous échantillonnée ?**

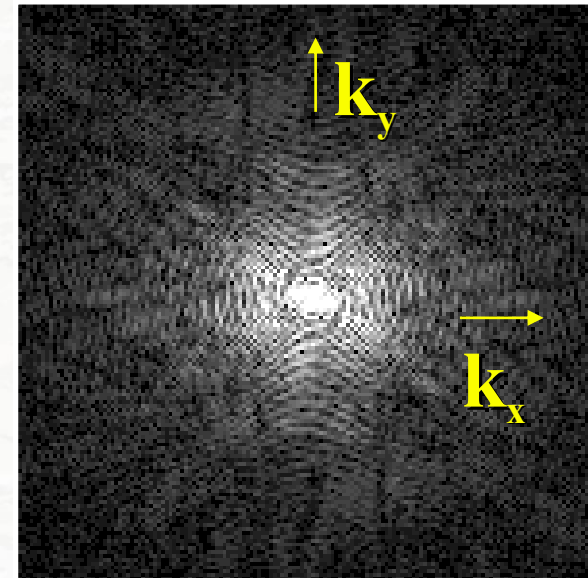
① Start presenting to display the poll results on this slide.



FFT



FFT



$\downarrow \frac{f_e}{2}$   
 $\downarrow f_{nyquist}$

# Extension 2D

---

## Représentation fréquentielle

- Notion de fréquence : projection sur une « base fréquentielle »
- En 1D : une variable dans le domaine de départ et une variable fréquentielle
- En 2D: deux variables dans le domaine de départ  $\Rightarrow$  deux variables fréquentielles.

# Représentation fréquentielle

## Hypothèses

- $f(x_1, x_2)$  de carré sommable (i.e.,  $\iint |f(x_1, x_2)|^2 dx_1 dx_2$  converge)
- Produit scalaire :  $\langle f, g \rangle = \iint f(x_1, x_2)g^*(x_1, x_2)dx_1 dx_2$
- « Base fréquentielle » :  $\{e^{2i\pi(\nu_1 x_1 + \nu_2 x_2)} ; (\nu_1, \nu_2) \in \mathbb{R}^2\}$

## Transformée de Fourier 2D

Démarche intuitive par succession d'opérations:

$$\begin{aligned}
 f(x_1, x_2) &\xrightarrow{\mathcal{F}_{\nu_1}} \bar{F}(\nu_1, x_2) = \int f(x_1, x_2)e^{-2i\pi\nu_1 x_1} dx_1 \\
 \bar{F}(\nu_1, x_2) &\xrightarrow{\mathcal{F}_{\nu_2}} F(\nu_1, \nu_2) = \int \bar{F}(\nu_1, x_2)e^{-2i\pi\nu_2 x_2} dx_2 \\
 &= \iint f(x_1, x_2)e^{-2i\pi(\nu_1 x_1 + \nu_2 x_2)} dx_1 dx_2
 \end{aligned}$$

# Représentation fréquentielle

---

## Transformée de Fourier 2D

- TF 2D : 
$$F(\nu_1, \nu_2) = \iint f(x_1, x_2) e^{-2i\pi(\nu_1 x_1 + \nu_2 x_2)} dx_1 dx_2$$
- TFI 2D : 
$$f(x_1, x_2) = \iint F(\nu_1, \nu_2) e^{2i\pi(\nu_1 x_1 + \nu_2 x_2)} d\nu_1 d\nu_2$$

## Propriétés importantes

- Ordre d'intégration indifférent (théorème de Fubini).
- Séparabilité : 
$$e^{2i\pi(\nu_1 x_1 + \nu_2 x_2)} = e^{2i\pi\nu_1 x_1} e^{2i\pi\nu_2 x_2}$$

# Fonctions périodiques

Il faut préciser la variable par rapport à laquelle  $f$  est périodique

- $f$  périodique par rapport à  $x_1$  et  $x_2$ , aux périodes  $T_1$  et  $T_2$ .

- Décomposition de  $f$ : 
$$f(x_1, x_2) = \sum_{k_1, k_2} a_{k_1 k_2} e^{2i\pi \left( \frac{k_1 x_1}{T_1} + \frac{k_2 x_2}{T_2} \right)}$$

$$\text{avec } a_{k_1 k_2} = \frac{1}{T_1 T_2} \int_{I_1} \int_{I_2} f(x_1, x_2) e^{-2i\pi \left( \frac{k_1 x_1}{T_1} + \frac{k_2 x_2}{T_2} \right)} dx_1 dx_2$$

- TF 2D: 
$$F(\nu_1, \nu_2) = \sum_{k_1, k_2} a_{k_1 k_2} \delta \left( \nu_1 - \frac{k_1}{T_1} \right) \delta \left( \nu_2 - \frac{k_2}{T_2} \right)$$

Impulsions disposées régulièrement sur une grille cartésienne, à des intervalles de  $\frac{1}{T_1}$  dans la direction  $\nu_1$ , et  $\frac{1}{T_2}$  dans la direction  $\nu_2$

# Propriété supplémentaire de la TF 2D

---

## Rotation

- Image  $f(x_1, x_2) \longleftrightarrow F(v_1, v_2)$
- $g(x_1, x_2) = f[\mathcal{R}_{-\theta}(x_1, x_2)]$  ;  $\mathcal{R}_{-\theta}$  : rotation d'angle  $-\theta$
- Image tournée de  $-\theta$  :  $g(x_1, x_2) \longleftrightarrow G(v_1, v_2)$
- On montre que  $G(v_1, v_2) = F[\mathcal{R}_{-\theta}(v_1, v_2)]$
- Principe de la démonstration : changement de variable dans l'intégrale double de Fourier

## Illustration

Voir démonstration `demo_rotTF`

## 1. Cadre 1D

- Révision
- Séries de Fourier : interprétation géométrique
- Extension : approche géométrique de la transformée de Fourier
- Échantillonnage
- Transformée de Fourier à temps discret et transformée de Fourier discrète

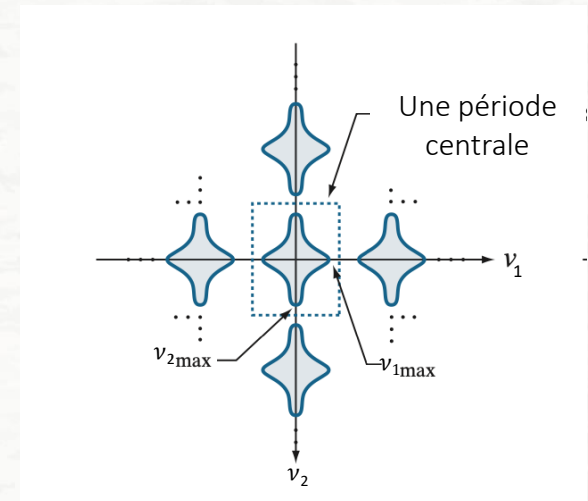
## 2. Cadre 2D

- Extension 2D de la transformée de Fourier
- Échantillonnage
- Aspects pratiques

# TF 2D de signaux échantillonnés

## Extension directe des résultats 1D

- $f_e(x_1, x_2)$  échantillonné  $(T_{e1}, T_{e2}) \Rightarrow F_e(v_1, v_2)$  périodique  $(1/T_{e1}, 1/T_{e2})$
- $F_e(v_1, v_2)$  obtenu par périodisation de  $F(v_1, v_2)$ 
  - période  $1/T_{e1}$  dans la direction  $v_1$
  - période  $1/T_{e2}$  dans la direction  $v_2$



# Théorème d'échantillonnage (1)

## Échantillonnage sans perte d'information

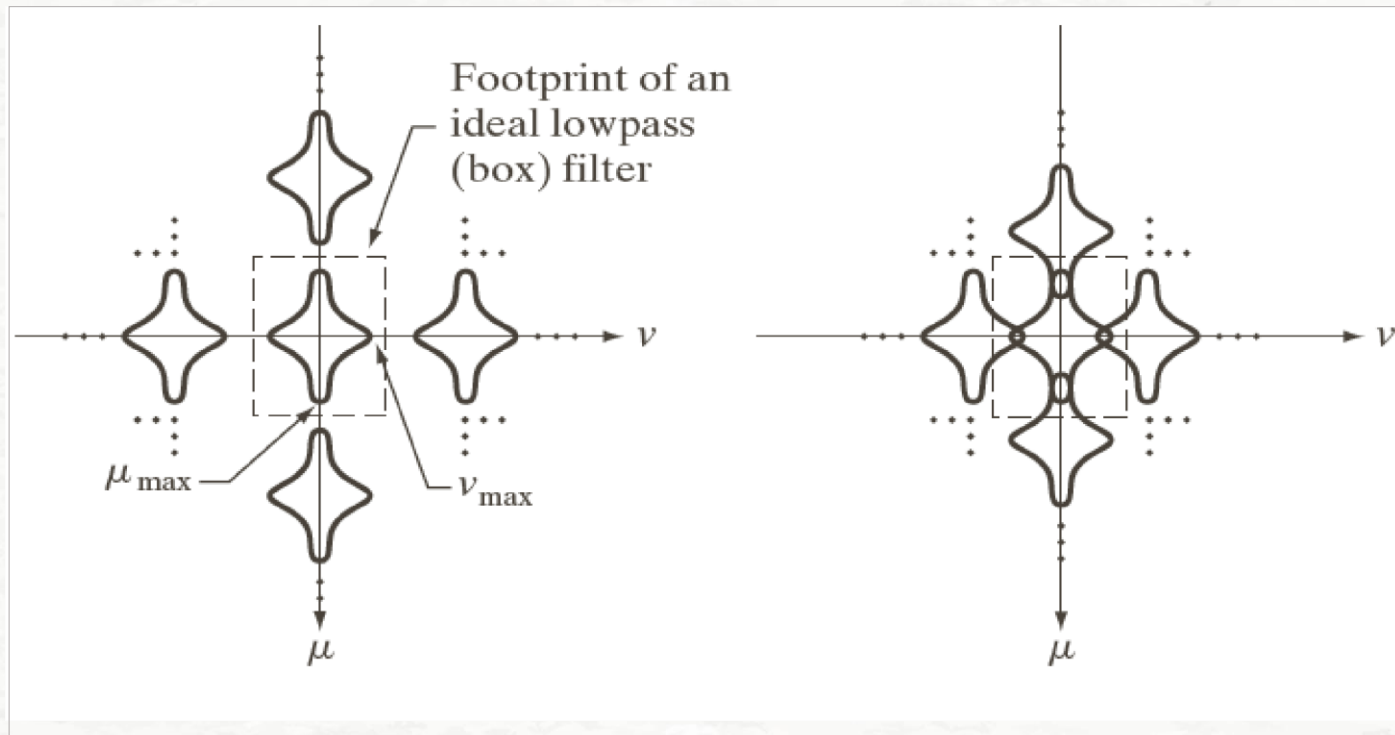
- Principe : éviter le recouvrement spectral
- Condition suffisante : si  $F(v_1, v_2)$  à bande limitée ( $[-B_1, B_1], [-B_2, B_2]$ )

Échantillonnage sans perte si les périodes d'échantillonnage  $T_{e_1}$  et  $T_{e_2}$  selon  $x_1$  et  $x_2$  vérifient respectivement

$$\left. \begin{array}{l} \frac{1}{T_{e_1}} = \nu_{e_1} > 2B_1 \\ \frac{1}{T_{e_2}} = \nu_{e_2} > 2B_2 \end{array} \right\} \Leftrightarrow \left\{ \begin{array}{l} T_{e_1} < \frac{1}{2B_1} \\ T_{e_2} < \frac{1}{2B_2} \end{array} \right.$$

# Théorème d'échantillonnage (2)

## Illustration



© 1992-2008 R. C. Gonzalez & R. E. Woods

## Exemple

Voir démonstrations [demo\\_alias](#)

# Question

---

Considérons une image en damier dans laquelle chaque carré mesure  $1 \times 1$  mm. En supposant que l'image s'étende à l'infini dans les deux directions de coordonnées, quelle est la fréquence d'échantillonnage minimale (en échantillons/mm) requise pour éviter le repliement ?

slido



slido

Please download and install the Slido app on all computers you use



**Considérons une image (infinie) en damier dans laquelle chaque carré mesure  $1 \times 1$  mm. Quelle est la fréquence d'échantillonnage minimale (en échantillons/mm) requise pour éviter le repliement ?**

① Start presenting to display the poll results on this slide.

## 1. Cadre 1D

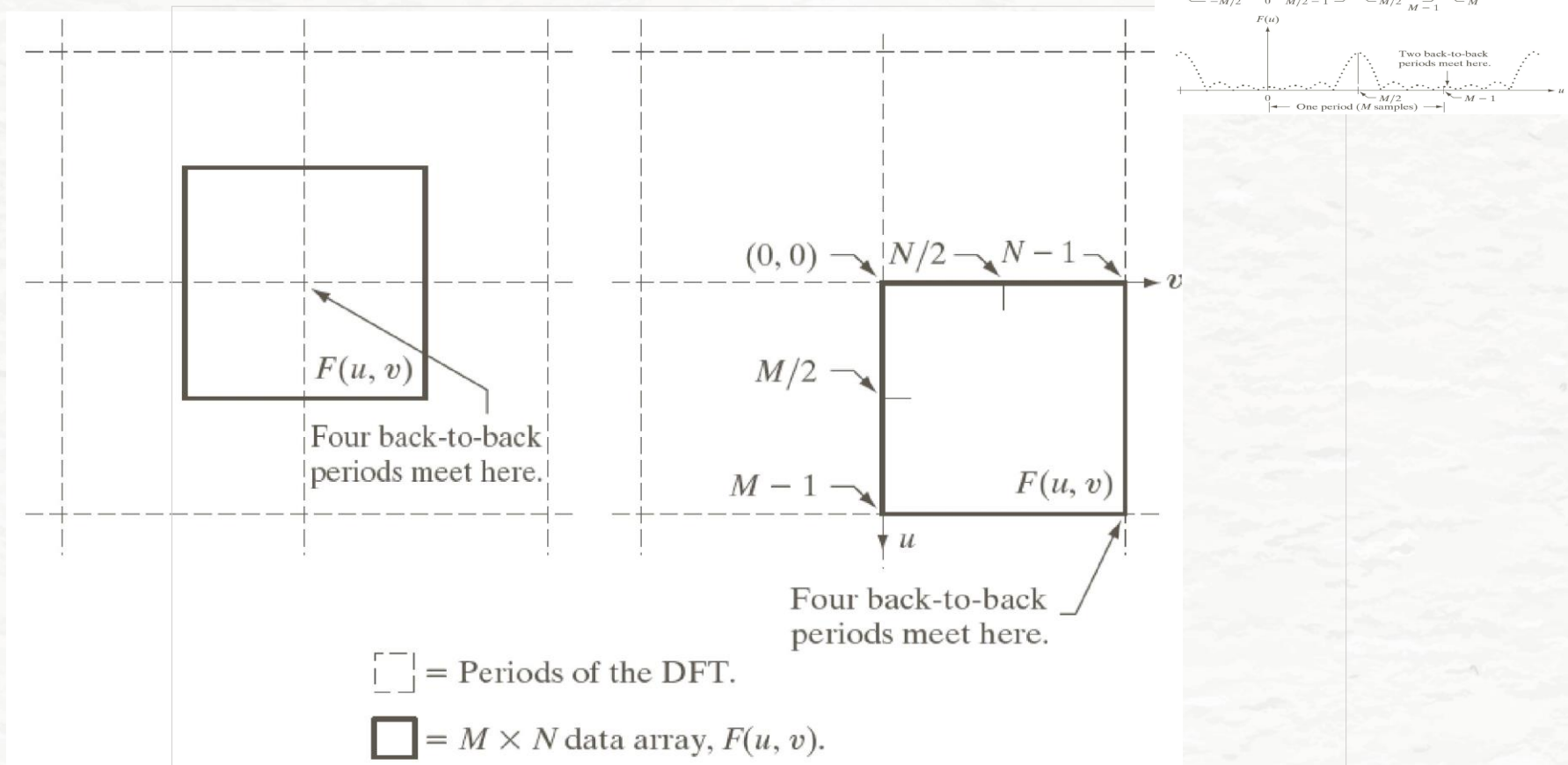
- Révision
- Séries de Fourier : interprétation géométrique
- Extension : approche géométrique de la transformée de Fourier
- Échantillonnage
- Transformée de Fourier à temps discret et transformée de Fourier discrète

## 2. Cadre 2D

- Extension 2D de la transformée de Fourier
- Échantillonnage
- Aspects pratiques

# Représentation fréquentielle, TF discrète et problèmes pratiques

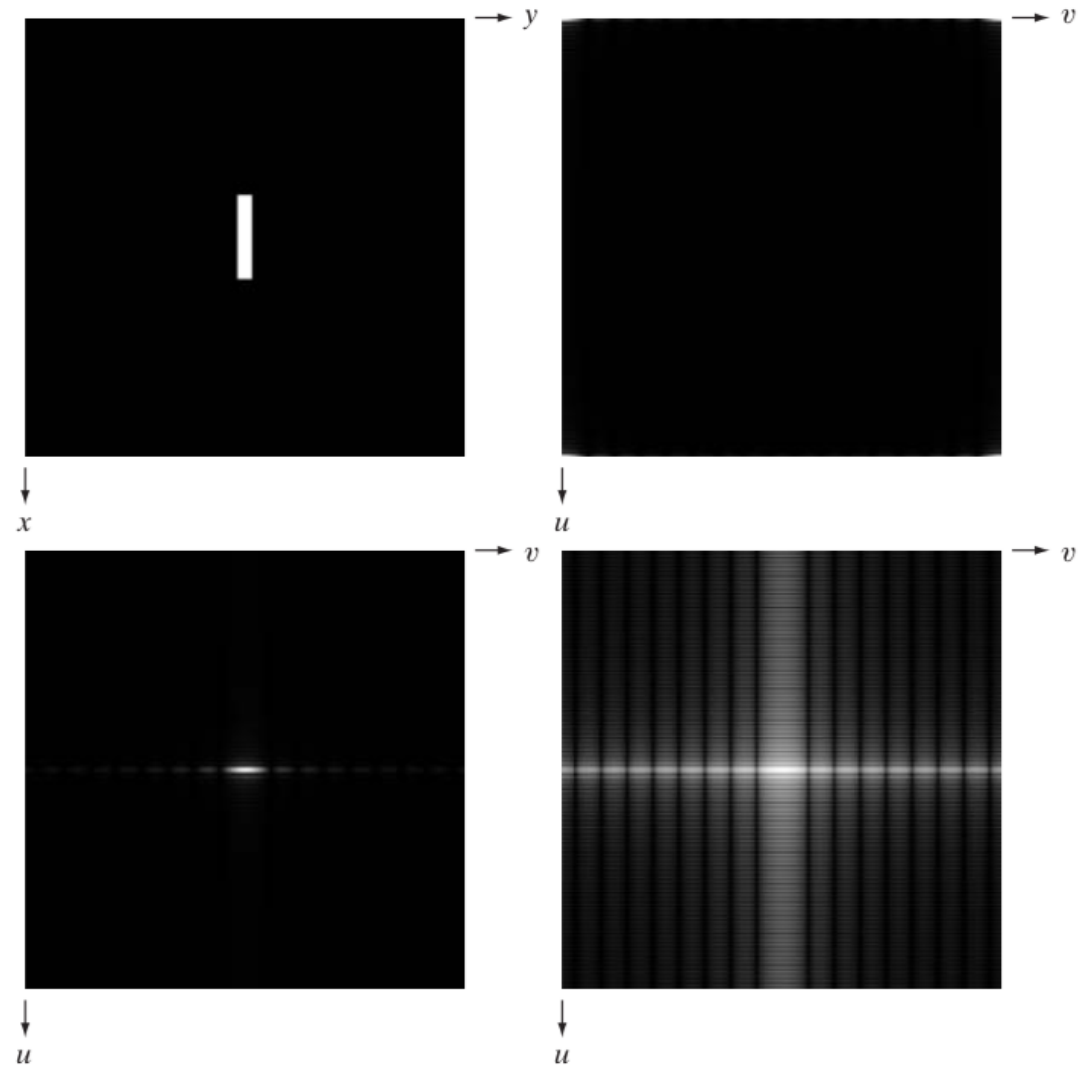
## Indexation de la TFD



a	b
c	d

**FIGURE 4.24**

(a) Image.  
 (b) Spectrum showing bright spots in the four corners.  
 (c) Centered spectrum.  
 (d) Result showing increased detail after a log transformation. The zero crossings of the spectrum are closer in the vertical direction because the rectangle in (a) is longer in that direction. The coordinate convention used throughout the book places the origin of the spatial and frequency domains at the top left.



👉 demo\_shift